

**PONTIFÍCIA UNIVERSIDADE CATÓLICA DO PARANÁ  
ESCOLA DE CIÊNCIAS AGRÁRIAS E MEDICINA VETERINÁRIA  
PROGRAMA DE PÓS-GRADUAÇÃO EM CIÊNCIA ANIMAL**

**LUIZA PRADO RICARDO DOS SANTOS MARIANI**

**ACUPUNTURA PARA O DIAGNÓSTICO DE LESÕES FÊMORO-TÍBIO-PATELARES  
EM EQUINOS**

*(Acupuncture diagnostic of stifle diseases in horses)*

**SÃO JOSÉ DOS PINHAIS**

**2016**

**LUIZA PRADO RICARDO DOS SANTOS MARIANI**

**ACUPUNTURA PARA O DIAGNÓSTICO DE LESÕES FÊMORO-TÍBIO-PATELARES EM EQUINOS**

*(Acupuncture diagnostic of stifle diseases in horses)*

Dissertação apresentada ao Programa de Pós-Graduação em Ciência Animal, área de concentração Saúde, Tecnologia e Produção Animal, da Escola de Ciências Agrárias e Medicina Veterinária da Pontifícia Universidade Católica do Paraná, para obtenção do título de Mestre em Ciência Animal.

Orientador: Prof. Dr. Pedro Vicente Michelotto Junior.

**SÃO JOSÉ DOS PINHAIS**

**2016**

**TERMO DE APROVAÇÃO**  
**(Responsabilidade da Secretaria do PPGCA)**

**(Entregue pela secretaria)**

## SUMÁRIO

	Página
<b>FORMATO DA DISSERTAÇÃO.....</b>	<b>x</b>
<b>RESUMO GERAL.....</b>	<b>xi</b>
<b>ABSTRACT.....</b>	<b>xiii</b>
<b>LISTA DE ABREVIATURAS.....</b>	<b>xv</b>
<b>LISTA DE TABELAS.....</b>	<b>xvi</b>
<b>LISTA DE FIGURAS.....</b>	<b>xvii</b>
<b>CAPÍTULO 1</b>	
<b>1 INTRODUÇÃO.....</b>	<b>1</b>
<b>2 OBJETIVOS.....</b>	<b>4</b>
2.1 OBJETIVO GERAL.....	4
2.2 OBJETIVOS ESPECÍFICOS.....	4
<b>3 HIPÓTESE.....</b>	<b>4</b>
<b>CAPÍTULO 2</b>	
<b>2 REVISÃO DA LITERATURA.....</b>	<b>5</b>
2.1 ANATOMIA DA ARTICULAÇÃO FÊMORO-TÍBIO-PATELAR.....	5
2.2 BIOMECÂNICA DA ARTICULAÇÃO FÊMORO-TÍBIO-PATELAR.....	8
2.3 PRINCIPAIS AFECÇÕES DA ARTICULAÇÃO FÊMORO-TÍBIO-PATELAR.....	10
2.3.1 Doenças ortopédicas de desenvolvimento.....	10
2.3.2 Lesões intra-articulares dos côndilos femorais e da tróclea femoral.....	12
2.3.3 Fratura e luxação de patela.....	12
2.3.4 Desmrite dos ligamentos.....	12
2.3.5 Lesão do ligamento colateral.....	12
2.3.6 Lesão do ligamento cruzado ou caudal.....	13
2.3.7 Lesões de menisco.....	13
2.3.8 Sinovite / Capsulite / Osteoartrite.....	14
2.4 DIAGNÓSTICO POR ACUPUNTURA.....	15
<b>CAPÍTULO 3</b>	

<b>3 THE DIAGNOSTIC ACUPUNCTURE CAN DETECT STIFLE DISEASES IN HORSES.....</b>	<b>19</b>
<b>Abstract.....</b>	<b>19</b>
3.1 INTRODUCTION.....	20
3.2 MATERIAL AND METHODS.....	22
<b>3.2.1 Type of study and ethical aspects.....</b>	<b>22</b>
<b>3.2.2 Animals.....</b>	<b>22</b>
<b>3.2.3 Acupuncture examination.....</b>	<b>23</b>
<b>3.2.4 Radiographic exam.....</b>	<b>24</b>
<b>3.2.5 Ultrasound exam.....</b>	<b>25</b>
<b>3.2.6 Statistical analysis.....</b>	<b>25</b>
3.3 RESULTS .....	26
<b>3.3.1 Animals.....</b>	<b>26</b>
<b>3.3.2 Acupuncture examination.....</b>	<b>27</b>
<b>3.3.3 Radiographic exam.....</b>	<b>28</b>
<b>3.3.3 Ultrasound exam.....</b>	<b>29</b>
3.4 DISCUSSION.....	35
3.5 CONCLUSION.....	39
<b>CONSIDERAÇÕES FINAIS.....</b>	<b>40</b>
<b>REFERÊNCIAS.....</b>	<b>40</b>
<b>ANEXOS.....</b>	<b>48</b>
1.....	48
2.....	49
3.....	50
4.....	52
5.....	53
6.....	55
7.....	57
8.....	58

**Dedico esse trabalho a todos os animais,  
que são e sempre foram o motivo pelo qual me  
encontro nesta jornada de busca pela cura e bem estar.**

## AGRADECIMENTOS

Muitas pessoas me ajudaram para que eu pudesse concluir essa nova etapa de minha vida. E não teria como eu chegar até aqui sem antes agradecer todo carinho, esforço e ajuda que algumas pessoas me proporcionaram sempre acreditando no meu potencial.

Felipe Augusto P. Mariani, meu amor, obrigada por todo apoio que vem me dando nesses 8 anos juntos. Quantas noites sem conseguir dormir, com você me dizendo palavras de incentivo, mesmo quando o mundo parecia cinza você conseguia deixar ele colorido novamente. Obrigada por confiar em mim e me ajudar a chegar onde estou hoje. Eu te amo muito.

Maysa Cristina do Prado, Mãe, obrigada por sempre confiar em mim, me incentivar e ajudar a realizar meus sonhos, por mais malucos e “bizarros” que sejam, como você mesmo fala, não importando quais sejam os obstáculos. Sady Ricardo dos Santos Neto, Pai, obrigada por estar sempre do meu lado, e me ensinar a lutar pela vida sempre com alegria. Edy Prado, Vó Edy, sempre minha segunda mãe em todos os ensinamentos e ajudas, muito obrigada por tudo que fez para mim, e por todo tempo que temos a alegria de ter você do nosso lado. Thaysa Prado Ricardo dos Santos, minha melhor amiga, obrigada pela ajuda e revisões e por todo apoio que você me proporciona. Tenho muito orgulho de você, e sempre me inspirei na sua garra para seguir em frente nos desafios. Amo vocês.

E finalmente, porém não menos importante agradeço a instituição e aos meus mestres, principalmente ao Prof. Dr. Pedro Vicente Michelotto Junior pela confiança e oportunidade de realizar esse trabalho e pelos ensinamentos, tanto na área acadêmica quanto os de crescimento pessoal. A todos os estudantes e profissionais do Regimento da PMPR pelo apoio, confiança e interesse nesse trabalho e aos Médicos Veterinários que colaboraram com seu tempo, conhecimento e experiência a cada solicitação, contribuindo com a conclusão do presente trabalho. E por fim, agradeço aos meus amigos e a todos os que de forma direta e indireta, contribuíram para o alcance da conclusão dessa etapa de minha formação acadêmica.

## **FORMATO DA DISSERTAÇÃO**

A presente dissertação é composta por quatro capítulos.

O capítulo um apresenta uma introdução geral dos objetivos de estudo e a hipótese desta dissertação.

O capítulo dois trata-se de uma revisão de literatura abordando a anatomia da articulação fêmoro-tíbio-patelar, os principais distúrbios encontrados nessa região e o diagnóstico por acupuntura.

O capítulo três é o artigo para publicação em periódico científico e contém o trabalho desenvolvido, foi redigido em inglês preparado para a revista *Equine Veterinary Journal* para submissão após as considerações da banca.

O capítulo quatro finaliza esta dissertação com conclusões gerais deste trabalho e com sugestões para estudos futuros.

As referências bibliográficas de todos os capítulos se encontram em lista única ao final da dissertação.

## RESUMO GERAL

**Introdução:** Doenças da articulação fêmoro-tíbio-patelar (FTP) são frequentes em equinos, sendo o diagnóstico desafiador para o clínico. A acupuntura é uma ferramenta que pode auxiliar no diagnóstico de afecções musculoesqueléticas em equinos, incluindo a articulação FTP. **Objetivo:** Avaliar a capacidade preditiva do exame clínico por acupuntura ao diagnóstico das afecções FTP em cavalos. **Método:** Foram investigados 39 cavalos [(12 Brasileiro-de-Hipismo, seis Puro-Sangue-Inglês, um cavalo europeu de equitação, um Apaloosa, um Lusitano e 18 mestiços, sendo 17 fêmeas e 22 machos, com idade variando entre 2 e 18 anos de idade ( $9.7 \pm 4.5$  anos)]. Dentre os animais investigados, nove animais apresentavam baixo rendimento, apenas um com queixa de claudicação em membro torácico e 29 deles estava em trabalho ou treinamento regular, sendo animais sem histórico de afecção FTP no período do estudo ou prévio. Levou-se em consideração a pressão em acupontos diagnósticos, realizada por dois avaliadores de forma independente utilizando-se uma proteção de agulha hipodérmica com extremidade romba. Animais com o diagnóstico mínimo proposto sendo a sensibilidade no ponto sugestivo para a articulação FTP na inserção do músculo bíceps femoral, juntamente a ponto Bexiga (B)-20 e/ou 21, foram incluídos no grupo suspeito (FTP, n = 31), e animais que não evidenciaram qualquer suspeita de afecção musculoesquelética na avaliação clínica compuseram o grupo controle (C, n = 8). Seguiu-se a avaliação por exames de imagem que compreendeu a radiografia (incidências caudo-cranial e látero-medial oblíqua  $20^{\circ}$  obtidas com equipamento digital EKlin) e a ultrassonografia (equipamento Siui® CTS 5500, com transdutor linear de 10 mHz em tempo real), cada qual realizada por diferentes profissionais que desconheciam tanto os resultados da avaliação clínica como da outra modalidade imagiológica, os quais também descreveram os achados e conferiram escores. Posteriormente, deu-se origem a três grupos considerando os membros dos cavalos avaliados, sendo os membros do lado onde havia a suspeita clínica no grupo dos membros suspeitos (GMS, n = 48), os membros do lado contralateral ao membro suspeito, nos cavalos suspeitos, mas que não possuía o diagnóstico de inclusão, grupo de membros não suspeitos (GMNS, n = 14) e o grupo de membros controle (GMC, n =

16). Na análise estatística comparou os dados obtidos pelos grupos FTP e C através de teste de Mann-Whitney, e se utilizou o teste de Kruskal Wallis seguido de teste de Dunn para comparar os GMC, GMS e GMNS, utilizando o programa estatístico GraphPad Prism versão 5.00 Windows, considerando significativo  $p < 0,05$ . Ainda foi realizado o teste de sensibilidade e especificidade para avaliar o valor preditivo dos exames de imagem. **Resultados:** O grupo FTP apresentou maior número de acupontos reativos em relação ao grupo C ( $6,00 \pm 2,80$  vs.  $0,25 \pm 0,45$  pontos,  $p < 0,0001$ ). A mediana dos escores ultrassonográficos foi maior no grupo FTP em relação ao C (1,0 vs. 0,  $p = 0,0002$ ). A mediana dos achados radiográficos não apresentou diferença significativa entre os grupos FTP e C. A sensibilidade e a especificidade do diagnóstico por acupuntura proposto, considerando-se os achados dos exames de radiografia e ultrassonografia, foi respectivamente de (80% e 25%). A associação do ponto FTP com VB-DTC chega-se a sensibilidade de 100% e especificidade de 80%. **Conclusão:** Conclui-se que o exame de palpação por acupuntura pode ser considerado preditivo para afecções da articulação fêmoro-tíbio-patelar, sendo importante a associação da ultrassonografia com a radiografia para a avaliação da mesma.

**Palavras-chave:** Cavalos. Diagnóstico. Medicina Tradicional Chinesa. Patela. Radiografia. Ultrassom.

## ABSTRACT

**Introduction:** Stifle joint disease is frequent in horses, representing a challenging diagnosis for the equine veterinary practitioner. Acupuncture is a tool used to help the diagnosis of musculoskeletal diseases in horses, including the stifle joint. **Objective:** To evaluate the acupuncture palpation diagnosis as a predictive method for stifle disease diagnosis in horses. **Method:** 39 horses [(12 Brazilian-sport-horse, six Thoroughbreds, one European horse, one Appaloosa, one Lusitanian and 18 mixed breed, being 17 females and 22 males, aging between 2 and 18 years old ( $9.7 \pm 4.5$  years)] were evaluated. Amongst subjects nine animals had the complain of poor performance, one of them was suspect of front limb lameness while 29 were enrolled in usual athletic activities. None of them had a history of stifle disease at the period of the study or previously. In the study it was considerate the pressure in acupuncture examination diagnosis, performed by two evaluators, independently, using a rounded plastic needle cover as a probe. The animals with sensitivity at the suggestive point for stifle, located at the sacral origin of the biceps femoris muscle, together with the points Bladder (BL)-20 and/or BL-21, were considered as the minimum diagnosis and were included at the stifle group (S, n = 31), and animals with none clinical indication included in the control group (C, n = 8). Then it was performed the image evaluation, with the radiograph (caudocranial oblique  $20^\circ$  and lateromedial projections performed with an Eklund digital equipment) and the ultrasound (performed with an equipment Ultrasound Siui® CTS 5500, with a linear transducer of 10 mHz in real time), each exam was performed by a different professional, that had no previous knowledge of the results of the clinical evaluation as well as of the other image exam, performing the findings description and grading. Thereafter, the limbs of the evaluated horses were divided into three groups, one embracing the limbs of the same side of the clinical suspected diagnosis (suspected limb group, SLG, n = 48), other with the limbs with no clinical suspicion but contralateral to the suspected limbs, (non-suspected limb group, NSLG, n = 14), and the last with the animals of the control group, the (control limbs group, CLG, n = 16). The statistical analysis compared the groups S and C with the Mann-Whitney test, and the Kruskal-Wallis test followed by the Dunn was used to compare the SLG, NSLG and

CLG, using the software GraphPad Prism 5.0 (San Diego, CA, USA), considering  $p < 0.05$  as significant. It was performed the sensibility and specificity test to evaluate the predictive values of the images exams. **Results:** Considering the acupuncture evaluation, there was higher number of acupuncture sensitive points were evidence in the S group in comparison to the C group ( $6.0 \pm 2.80$  vs.  $0.25 \pm 0.45$ ,  $p < 0.0001$ ). The ultrasound scores were higher in S than in C (1.0 vs. 0.  $p = 0.0002$ ), The radiographic findings did not present difference between the S and C group. The sensibility and specificity of the proposed acupuncture diagnosis, considering the findings of the radiograph and ultrasound exam, was respectively of (80% and 25%). The association of the S point with the GB-DTC point presents a sensibility of 100% and a specificity of 80%. **Conclusion:** The suggested acupuncture palpation diagnosis for stifle disease can be consider predictive for the lesions in the stifle joint, as well as it is important to associate ultrasound and radiography for joint evaluation.

**Keywords:** Diagnosis. Horse. Patella. Radiograph. Traditional Chinese Medicine. Ultrasound.

## LISTA DE ABREVIATURAS

AVMA	American Veterinary Medicine Association
B	Meridiano da Bexiga
BL	Bladder channel
CLG	Control limb group
DAD	Doença articular degenerativa
DOD	Doença ortopédica do desenvolvimento
E	Meridiano do Estômago
FP	Fêmoro-patelar
FTL	Fêmoro-tibial lateral
FTM	Fêmoro-tibial medial
FTP	Fêmoro-tíbio-patelar
GB	Gall-bladder channel
GB-DTC	Gall-Bladder Dorsal <i>Tuber Coxae</i> point
Group C	Group control
Grupo C	Grupo controle
Grupo FTP	Grupo suspeito de afecção fêmoro-tíbio-patelar
GMC	Grupo com membro negativo / controle
GMNS	Grupo com membro não suspeito
GMS	Grupo com membro suspeito
IVAS	International veterinary acupuncture society
MTC	Medicina tradicional chinesa
NSLG	Non-suspected limb group
OC	Osteocondrose
OCD	Osteocondrite dissecante
S	Stomach channel
S group	Stifle group
S point	Suggestive point for stifle joint
SLG	Suspected limb group
SP	Spleen channel

## LISTA DE TABELAS

	Página
Table 1. The synovial fluid distension evaluated in horses according to the respective group.....	27
Table 2. Other diagnostic points that were also reactive together with the minimal inclusion diagnostic criteria in horses: Gall-Bladder Dorsal <i>Tuber Coxae</i> (GB-DTC) (located at the dorsal border of the <i>tuber coxae</i> caudal to the GB-27), the GB-27 (located at the craniodorsal aspect of the <i>tuber coxae</i> ), SP-13 (located at the cranoventral aspect of the <i>tuber coxae</i> ), the three local stifle points described by Cain (2003) (located at the muscular groove between the biceps femoris and semitendinosus muscle), S-10 (located between the sternum mandibular and the ventral aspect of the braquiocephalic muscle), S-31 (ventral to the <i>tuber coxae</i> at the origin of the tensor fascia lata).....	34
Table 3. Radiographic findings in control limbs group (CLG, n = 16), limbs suspect of stifle disease by the acupuncture clinical examination (SLG, n = 48) and group of limbs contralateral to the suspect limbs but without the inclusion minimal criteria for the acupuncture diagnosis (NSLG, n = 14).....	28
Table 4. Ultrasound findings after the acupuncture clinical examinations of the control limbs group (CLG, n = 16), limbs suspected of stifle joint disease (SLG, n = 48) and contralateral limbs to the suspected limbs, (NSLG, n = 14).....	33

## LISTA DE FIGURAS

### Página

- Figura 1. Os ossos do membro pélvico esquerdo do equino pela vista lateral. 1, tuberosidade sacral; 2, crista do ílio; 3, tuberosidade coxal; 4, espinha isquiática; 5, cabeça do fêmur; 6, púbis; 7, patela; 8, tróclea; 9, tuberosidade tibial; 10, borda cranial da tíbia; 11, talo; 12, central do tarso; 13, társico terceiro; 14, metatársico; 15, falange proximal; 16, falange média; 17, falange distal; 18, ossos sesamoides proximais; 19, metatársico; 20, társico quarto; 21, calcâneo; 22, tuberosidade do calcâneo;; 23, cabeça da fíbula; 24, côndilo lateral; 25, epicôndilo lateral; 26, tuberosidade supracondiloidal lateral; 27, terceiro trocânter; 28, trocânter maior cranial; 28', trocânter maior caudal; 29, tuberosidade isquiática (Fonte: Dyce et al.,2010)..... 6
- Figura 2. O joelho do equino pela vista lateral. 1, m. semitendinoso; 2, m. adutor; 3, m. semi membranoso; 4, m. gastrocnêmio; 5, m. sóleo; 6, m. extensor digital lateral; 7, m. extensor digital longo; 8, patela; 9, m. vasto lateral; 10, m. reto femoral; 11, m. ilíaco; 12, m. psoas maior; 13, m. glúteo médio. (Fonte: Crook et al.,2008)..... 7
- Figura 3. Ligamentos da articulação do joelho do equino pela vista dorsal. 1, patela; 2, m. bíceps femoral; 3, ligamento patelar lateral; 4, ligamento femorotibial lateral; 5, menisco lateral; 6, côndilo lateral da tíbia; 7, espaço interósseo; 8, fíbula; 9, ligamento interósseo; 10, tuberosidade da tíbia; 11, côndilo medial da tíbia; 12, menisco medial; 13, ligamento femorotibial medial; 14, epicôndilo medial; 15, ligamento medial patelar; 16, crista medial da tróclea; 17, cartilagem patelar acessória; 18, fêmur; 19, ligamento patelar intermedial; 20, ligamento patelar lateral; 21, menisco lateral (Fonte: Dyce et al.,2010)..... 7

Figura 4.	Pontos descritos por Marvin Cain (2003) para diagnóstico e tratamento da síndrome patelar.....	17
Picture 5.	Minimal diagnostic suggested for the suspicion of stifle joint disease in horses. Suggestive point for stifle joint (FTP point) located at the sacral origin of the biceps femoris muscle, together with the points Bladder (BL)-20 located at the 17 <sup>th</sup> intercostal space lateral to the dorsal midline in the ileocostal muscle groove and/or BL-21 located caudal to the last rib lateral to the dorsal midline in the ileocostal muscle groove.....	24
Picture 6	Distribution of the ultrasound scoring system (0 to 3) for the control limbs (CLG, n = 16), limbs suspect of stifle disease by the acupuncture exam (SLG, n = 48) and contralateral limbs (NSLG, n = 14) p = 0.0002 vs. CLG.....	29
Picture 7	Images of a male, 13-year-old, Brazilian-sport-horse suspected diagnosis of stifle disease at the acupuncture examination. (A) Radiographic exam in the caudocranial view, flattening of the center of the articular margin of the medial femoral condyle, with underlying subchondral sclerosis (arrow) and remodeling / enthesophytes at the medial tibial border (arrow-head) (B) Cranial ultrasound exam, proximal to the left and distal to the right, fibrosis and partial tearing of the fibers of lateral patellar ligament (arrow). (C) Lateral ultrasound exam, proximal to the left and distal to the right partial tearing of the fibers of lateral collateral ligament (arrow).....	30

Picture 8	Images of a female, 11-year-old, Brazilian-sport-horse suspected diagnosis of stifle disease at the acupuncture examination. (A) Radiographic exam in the caudocranial view, flattery of the center of the articular margin of the medial femoral condyle, with underlying subchondral sclerosis (arrow) and remodeling / enthesophytes at the medial tibial border (arrow-head) (B) Cranial ultrasound exam, medial to the left and lateral to the right, degeneration of the medial femoral condyle. (C) Medial ultrasound exam, proximal to the left and distal to the right, trauma to the insertion of the medial collateral ligament.....	31
Picture 9	Images of a male, 9-year-old, European equitation horse suspected diagnosis of stifle disease at the acupuncture examination. (A) Radiographic exam in the caudocranial view, flattery of the center of the articular margin of the medial femoral condyle, with underlying subchondral sclerosis (interrupted arrow), remodeling / enthesophytes at the medial tibial border (arrow-head) and trauma to the insertion of the medial collateral ligament. (B) Medial ultrasound exam, proximal to the left and distal to the right, 10.33mm enthesophyte at the femoral insertion of the medial collateral ligament, next to the medial meniscus.....	32

1

## CAPÍTULO 1

2

### 3 1 INTRODUÇÃO

4

5       A articulação fêmoro-tíbio-patelar (FTP) é uma das maiores e mais complexas  
6 dentre as articulações dos cavalos. Sua principal função é auxiliar no mecanismo do  
7 aparato recíproco do animal durante a sua movimentação, contribuindo para a rigidez e  
8 elasticidade do membro, esse processo auxilia na coordenação e balanço do animal  
9 durante o movimento (Denoix, 2014).

10      As lesões degenerativas da articulação FTP são frequentes, sendo usualmente  
11 decorrentes de esforço (Tangjitaroen et al., 2009), varia de acordo com a atividade  
12 exercida elas causam diminuição do desempenho e leva a uma interrupção precoce da  
13 carreira, além de causar perdas econômicas significativas (Frisbie et al., 2014).

14      Os distúrbios FTP estão entre as principais causas de dor e claudicação em  
15 equinos relatado devido sua importância há mais de 50 anos, previamente descritos em  
16 8% de 835 cavalos avaliados com dor em membros pélvicos e em coluna vertebral  
17 (Vaughan, 1965) e, em 2% de 5388 cavalos com distúrbios musculoesqueléticos  
18 (Anon, 1965), e mais atualmente Frisbie et al. (2014) considera que pelo menos 40%  
19 das lesões em animais de competição são na articulação FTP.

20      Com exceção da osteocondrose, as lesões da articulação FTP são relacionadas  
21 à doença articular degenerativa (DAD), que também é denominada como artrose,  
22 osteoartrite ou artrite hipertrófica. Estima-se que pelos menos 80% dos casos de  
23 claudicação, de uma forma geral são relacionados a DAD. A DAD pode ter início a  
24 partir de sepsis, osteocondrose, trauma agudo ou crônico como resultado de esforços  
25 repetidos em indivíduos que desempenham função atlética. O diagnóstico da DAD  
26 pode ser muito complexo, principalmente na articulação FTP devido a ação dos grupos  
27 musculares os quais sustentam a articulação e dificultam a evidenciação de sinais  
28 clínicos. Assim, a investigação da articulação FTP deve ser minuciosa para se evitar  
29 falhas na interpretação, incluindo se a suspeita clínica é acompanhada de modalidades  
30 imaginológicas (McIlwraith, 1996; Mobasher e Henrotin, 2010).

31        Cavalos em treinamento, mesmo os em fase de crescimento, possuem ossos  
32 que se remodelam ou reagem para aumentar a sua resistência à diferentes forças, e  
33 para ampliar sua circunferência e a densidade mineral, enquanto estruturas  
34 trabeculares internas adaptam-se para resistir a maior força de carga. O processo de  
35 remodelação progressiva é relativamente lento, pode levar até quatro meses para ser  
36 concluído em cavalos jovens que estão iniciando treinamento (Lawrence, 2003), e pode  
37 resultar em lesões, caso a intensidade do esforço seja maior que a capacidade de  
38 adaptação.

39        Adicionalmente, tem-se a predisposição genética para as afecções da  
40 articulação FTP, tais como lesões ósseas do crescimento como osteocondrose e cistos  
41 ósseos subcondrais (Lawrence, 2003). A osteocondrose pode ser definida como uma  
42 perturbação no processo de ossificação endocondral do complexo articular na epífise,  
43 apresentando uma incidência média geral de até 25% em diferentes raças. Nem  
44 sempre é observado redução no desempenho, porém as perdas para a indústria de  
45 cavalos são grandes de maneira direta ou indireta, pois reduz o potencial de  
46 reprodução dos animais além de afetar seu valor de mercado (Weeren, 2006).

47        Como as afecções FTP são muito comuns na rotina clínica, o diagnóstico  
48 específico para as alterações nessa articulação passou por avanços nos últimos 20  
49 anos, devido ao crescimento de técnicas diagnósticas como radiografia digital (Bodo et  
50 al., 2004), ultrassonografia (Redding, 2001), artroscopia (Cohen et al., 2009),  
51 ressonância magnética (Walmsley, 2005) e artroscopia tomográfica computadorizada  
52 (Valdés-Martínez, 2012). Foram encontrados diferentes tipos de lesões em menisco em  
53 74 de 130 cavalos que foram submetidos a avaliação ultrassonográfica da articulação  
54 FTP (De Bussher et al., 2006), e 61 cavalos que apresentavam claudicação em  
55 membros pélvicos e apresentaram um diagnóstico de lesões em estruturas FTP  
56 através da ressonância magnética (McKnight, 2012).

57        No entanto, apesar do avanço tecnológico nas técnicas diagnósticas  
58 complementares, o exame clínico é o ponto de partida obrigatório para o diagnóstico de  
59 afecções FTP, e ele continua sendo um desafio para o médico veterinário clínico de  
60 equinos (Desardins e Hurtig, 1991), pois nem sempre o animal manifesta sinais clínicos  
61 no momento do exame, além disto, a avaliação da movimentação não é específica para

62 lesões FTP, devido à coordenação do movimento no membro do animal pelos grandes  
63 grupos musculares que sustentam a articulação FTP (Walmsley, 2003).

64 O exame clínico de claudicação, que envolve o exame através da observação,  
65 palpação, testes de flexão e extensão do membro do animal em estação, seguido de  
66 exame dinâmico do cavalo em diferentes pisos com alternância de andamento, é  
67 imprescindível para determinar sinais de alteração na locomoção e a origem da dor. A  
68 claudicação deve ser avaliada observando-se anormalidades da marcha, testes de  
69 manipulação do membro, e resposta à anestesia intra-articular, este último é um  
70 procedimento invasivo e apresenta dificuldades técnicas (Stashak, 2011).

71 Neste contexto, a acupuntura é técnica já previamente sugerida para a  
72 realização do diagnóstico das articulações FTP (Schoen, 2000). O diagnóstico através  
73 da Medicina Tradicional Chinesa (MTC) depende de um sistema holístico de  
74 correspondência entre os sinais do exterior e os órgãos do interior que foi desenvolvido  
75 e acumulado por milhares de anos, passado por gerações na China (Xie e Liu, 2006).

76 O diagnóstico definitivo para as afecções FTP usualmente são realizados por  
77 meio de combinação de avaliação radiográfica e ultrassonográfica, com alguns  
78 métodos mais modernos como ressonância magnética, tomografia computadorizada e  
79 artroscopia que tem custo mais elevado e são menos acessíveis, mas definitivamente é  
80 o exame clínico o mais importante para se elaborar a suspeita.

81 Portanto, devido ao diagnóstico clínico de lesões da articulação FTP ainda se  
82 constituir um desafio para o clínico médico veterinário, o emprego do diagnóstico  
83 clínico por acupuntura pode proporcionar objetividade na suspeita clínica e rapidez  
84 tanto no encaminhamento para diagnóstico por imagem quanto na instituição da  
85 terapêutica apropriada.

86

87

88

89

90

91

92

93 **2 OBJETIVOS**

95 **2.1 OBJETIVO GERAL**

- 97 ✓ Avaliar o valor preditivo do exame clínico por acupuntura para o diagnóstico de  
98 lesões em estruturas na articulação FTP em cavalos.

100 **2.2 OBJETIVOS ESPECÍFICOS**

- 102 ✓ Estudar o histórico, a idade, o sexo, a raça, e a atividade em equinos suspeitos  
103 de afecções FTP;  
104 ✓ Estudar as manifestações clínicas em exame clínico por acupuntura, em equinos  
105 suspeitos de afecções FTP;  
106 ✓ Estudar achados de exames radiográficos e ultrassonográficos da articulação  
107 FTP, de equinos suspeitos por exame de acupuntura de afecções FTP.

109 **3 HIPÓTESES**

111  $H_0$ : O exame clínico utilizando a acupuntura diagnóstica não auxilia na  
112 identificação de cavalos com doença fêmoro-tíbio-patelar.

114  $H_1$ : O exame clínico utilizando a acupuntura diagnóstica identifica cavalos com  
115 doença fêmoro-tíbio-patelar. Cavalos com diferentes lesões em articulação FTP são  
116 identificados por padrão de pontos de acupuntura doloridos.

## CAPÍTULO 2

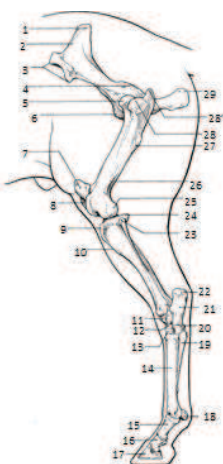
## 2 REVISÃO DA LITERATURA

## 2.1 ANATOMIA DA ARTICULAÇÃO FÊMORO-TÍBIO-PATELAR

A articulação fêmoro-tíbio-patelar (FTP) é constituída pela extremidade distal do fêmur, extremidade proximal da tíbia e patela. Onde estão presentes a tróclea, osidade tibial, cabeça da fíbula, côndilo lateral, epicôndilo lateral e tuberosidade condiloidal lateral (Figura 1). Além dos espaços sinoviais fêmoro-patelar (FP), tibio-tibial lateral (FTL) e fêmoro-tibial medial (FTM) [Kainer e Fails, 2011].

Com relação às articulações fêmoro-tibiais, elas possuem os ligamentos dos cranial e caudal localizados entre os sacos sinoviais medial e lateral da articulação, além de dois meniscos fibrocartilaginosos que intervêm parcialmente as superfícies articulares femoral e tibial, assim subdividindo parcialmente os espaços sinoviais (Kainer e Fails, 2011).

A cápsula articular se estende distalmente, em média, a um centímetro da borda proximal da cartilagem do côndilo femoral medial, e mais próxima da borda distal da cartilagem articular do côndilo femoral lateral, fixando na borda periférica do menisco e nas extremidades das superfícies articulares dos côndilos tibiais (Dyce et al., 2010). A cápsula possui uma parte fibrosa que é espessa na região caudal e delgada na região cranial, que se fixa nos ligamentos cruzados. No saco lateral existe uma bolsa que envolve o tendão de origem do músculo poplíteo, e outras bolsas se inserem distalmente ao tendão de origem do músculo extensor digital longo e fibular (Kainer e Fails, 2011).



149

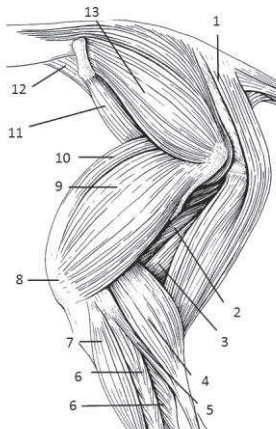
150 Figura 1 - Os ossos do membro pélvico esquerdo do equino pela vista lateral. 1, tuberosidade  
151 sacral; 2, crista do ílio; 3, tuberosidade coxal; 4, espinha isquiática; 5, cabeça do fêmur; 6,  
152 púbis; 7, patela; 8, tróclea; 9, tuberosidade tibial; 10, borda cranial da tíbia; 11, talo; 12, central  
153 do tarso; 13, târsico terceiro; 14, metatârsico; 15, falange proximal; 16, falange média; 17,  
154 falange distal; 18, ossos sesamoides proximais; 19, metatârsico; 20, târsico quarto; 21,  
155 calcâneo; 22, tuberosidade do calcâneo; 23, cabeça da fíbula; 24, côndilo lateral; 25,  
156 epicôndilo lateral; 26, tuberosidade supracondiloidal lateral; 27, terceiro trocânter; 28, trocânter  
157 maior cranial; 28', trocânter maior caudal; 29, tuberosidade isquiática (Fonte: Dyce et al., 2010).

158

159 Na articulação FTP a patela está intercalada na terminação do músculo  
160 quadríceps femoral com os três ligamentos patelares compondo o tendão de inserção  
161 (Kainer e Fails, 2011). Essa articulação apresenta uma cápsula articular delgada e  
162 volumosa fixada na extremidade da tróclea femoral, enquanto a patela se fixa na  
163 extremidade da superfície articular patelar. Ainda, há uma bolsa proximal da cápsula  
164 articular que se projeta proximamente sob uma massa de tecido adiposo e sob a parte  
165 distal do músculo quadríceps femoral (Dyce et al., 2010). Finalmente, a extremidade  
166 distal da cápsula da articulação FP entra em contato com a cápsula da articulação FTM  
167 (Kainer e Fails, 2011).

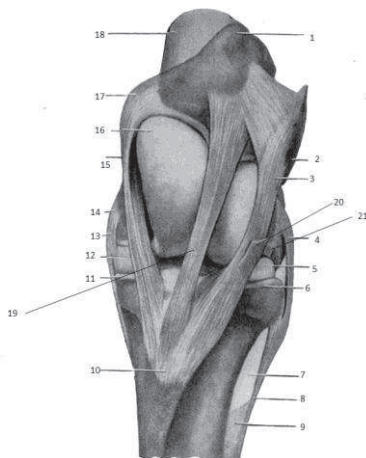
168 Os músculos que estão relacionados com a articulação FTP são o bíceps  
169 femoral, que apresenta a sua inserção na patela; o semimembranoso e o sartório, que  
170 se inserem no ligamento FTM da articulação FTP; o semitendinoso, que se insere na  
171 face medial da tíbia e fáscia crural; o pectíneo que se insere na superfície medial do  
172 fêmur; o adutor, que se insere na superfície caudal no epicôndilo medial do fêmur e no

173 ligamento colateral medial da articulação fêmoro-tíbio-patelar; e por fim, o quadríceps  
174 femoral, que se insere na patela juntamente com o ligamento patelar médio (Figura 2)  
175 (Dyce et al., 2010).



176  
177 Figura 2 - O joelho do equino pela vista lateral. 1, m. semitendinoso; 2, m. adutor; 3, m.  
178 semimembranoso; 4, m. gastrocnemio; 5, m. sóleo; 6, m. extensor digital lateral; 7, m. extensor  
179 digital longo; 8, patela; 9, m. vasto lateral; 10, m. reto femoral; 11, m. ilíaco; 12, m. psoas maior;  
180 13, m. glúteo médio (Fonte: Crook et al., 2008).

181  
182 Essa região patelar é identificada facilmente pela localização cranial da crista da  
183 tibia, e proximamente a esta, pela identificação dos ligamentos patelares medial, médio  
184 e lateral, o tendão do músculo extensor digital longo e os ligamentos colaterais medial  
185 e lateral das articulações fêmoro-tibiais (Figura 3) (Dyce et al., 2010).



186  
187 Figura 3 - Ligamentos da articulação do joelho do equino pela vista dorsal. 1, patela; 2, m.  
188 bíceps femoral; 3, ligamento patelar lateral; 4, ligamento femorotibial lateral; 5, menisco lateral;

189 6, côndilo lateral da tíbia; 7, espaço interósseo; 8, fíbula; 9, ligamento interosseos; 10,  
190 tuberosidade da tíbia; 11, côndilo medial da tíbia; 12, menisco medial; 13, ligamento  
191 femorotibial medial; 14, epicôndilo medial; 15, ligamento medial patelar; 16, crista medial da  
192 tróclea; 17, cartilagem patelar acessória; 18, fêmur; 19, ligamento patelar intermedial; 20,  
193 ligamento patelar lateral; 21, menisco lateral (Fonte: Dyce et al.,2010).

194

## 195 2.2 BIOMECÂNICA DA ARTICULAÇÃO FÊMORO-TÍBIO-PATELAR

196

197 A articulação FTP dos cavalos contém mecanorreceptores e terminações  
198 nervosas com diferentes capacidades de informar o sistema nervoso central ao  
199 respeito do movimento e posição do corpo, além de identificar situações nocivas para o  
200 animal. Os mecanorreceptores mais encontrados nessa articulação são os de tipo 1,  
201 que são responsáveis pelas movimentações mais lentas, e os do tipo 2 que podem ser  
202 subdivididos em tipo 2A, responsáveis pela movimentação moderada, e tipo 2B que  
203 agem na movimentação rápida (Valberg et al., 1999).

204 Os neurônios esqueletomotores são conhecidos por serem raramente ou  
205 sutilmente influenciados pelos mecanorreceptores de baixo limiar nos ligamentos,  
206 enquanto que os efeitos sobre o sistema muscular ao redor da FTP são potentes se  
207 estendendo até o ligamento, inclusive o efeito de baixas cargas pode induzir grandes  
208 mudanças nas respostas dos aferentes do fuso muscular. Uma vez que os aferentes do  
209 fuso muscular primários participar na regulação da rigidez muscular, os receptores dos  
210 ligamentos articulares do joelho contribuem através da musculatura, para ajuste de  
211 preparação da rigidez dos músculos ao redor da FTP assim como para a rigidez  
212 articular e a estabilidade articular funcional (Johansson et al., 1991).

213 Quando o cavalo está na posição quadrupedal, o músculo quadríceps está  
214 relativamente relaxado. A extensão da articulação FTP através do movimento do  
215 quadríceps, tensor da fáscia lata e a divisão cranial do bíceps, juntamente com a tração  
216 passiva exercida pelo músculo fibular terceiro, é limitada pela tensão do ligamento  
217 colateral e cruzado. Durante a flexão, o músculo gastrocnêmio é levemente rotacionado  
218 medialmente (Stashak, 2011). Entretanto, quando o cavalo transporta o seu peso mais  
219 para um dos membros pélvicos, o membro em repouso flexiona e se apoia no casco.  
220 Neste momento, a pelve fica inclinada para que o quadril dê suporte ao membro que

221 está mais elevado. Assim, a articulação FTP do membro em apoio fica fixa na posição  
222 devido a uma leve rotação medial da patela, bem como o ligamento patelar medial e a  
223 cartilagem parapatelar deslizam mais caudalmente na parte proximal da crista troclear  
224 medial. A posição fixa alcançada por essas estruturas, juntamente com o suporte  
225 oferecido por outros componentes do aparelho musculoesquelético, minimiza a  
226 atividade muscular do membro de suporte, enquanto o membro relaxado fica em  
227 repouso. As posições são invertidas, a patela se desprende da parte proximal da crista  
228 troclear medial (Stashak, 2011).

229 As diferentes modalidades de treinamento agem de maneira distinta na  
230 articulação FTP dos cavalos. Segundo Denoix (2014) quando o animal se movimenta e  
231 abaixa o pescoço a tensão exercida pelo músculo ileopsoas é aplicado na extremidade  
232 proximal do fêmur e reage a restrição na mobilidade lombar. Esse processo resulta no  
233 aumento da flexão da FTP durante o movimento dos membros pélvicos. Juntamente  
234 com essa flexão lombosacra ocorre a extensão dos músculos glúteos com uma  
235 extensão sincronizada da FTP. Esse movimento da articulação com os músculos  
236 contribuem para a propulsão, auxiliando no desenvolvimento de força.

237 Quando o animal está se movimentando para trás a articulação FTP participa do  
238 movimento de protração e retração, na protração a flexão do quadril ocorre associada à  
239 extensão da FTP e do casco e já na retração inicia com a flexão da FTP pela ação dos  
240 músculos femorais caudais, resultando na flexão do casco pelo músculo fibular terceiro  
241 e das articulações distais do membro pelo tendão flexor digital. Finalmente ocorre a  
242 extensão da FTP iniciada pela contração do músculo glúteo médio, músculo  
243 quadríceps femoral e músculo gastrocnêmio (Denoix, 2014).

244 Na movimentação lateral a articulação FTP não apresenta grande influência na  
245 biomecânica, por conseguir apenas realizar movimentos de flexão e extensão, e não  
246 movimentos laterais de abdução e adução. Devido ao formato da superfície articular e  
247 da força exercida pelo ligamento colateral ao redor da articulação (Denoix, 2014).

248 No salto dos cavalos a biomecânica é considerada em diferentes fases, no início  
249 do salto ou fase de propulsão inicialmente a FTP é flexionada pela ação dos músculos  
250 femorais caudais, principalmente do músculo bíceps femoral e músculo semitendinoso.  
251 Já no momento do contato do animal com o chão para preparar o salto, essa

252 articulação é estendida aumentando o ângulo fêmoro-tibial pela ação dos músculos  
253 quadríceps femoral que puxa a patela para cima (o músculo reto femoral tem sua ação  
254 potencializada pela extensão do quadril), o músculo femoral caudal puxa a FTP  
255 caudalmente e alinha o fêmur e a tíbia, e os músculos femorais mediais (principalmente  
256 o músculo adutor magno) também apresentam um importante papel na extensão da  
257 articulação coxofemoral e fêmoro-tibial. Na seguinte fase que o animal está no ar, a  
258 articulação FTP é flexionada devido à ação dos músculos bíceps femoral,  
259 semitendinoso, gastrocnêmio (juntamente com o músculo flexor digital superficial) e os  
260 músculos poplíteos, que agem na finalização da flexão, essas ações musculares  
261 reduzem o ângulo para menos de 50°. E na fase final da aterrissagem ocorre uma  
262 hiperextensão da FTP, já que o aparato recíproco dessa articulação auxilia na  
263 estabilidade da articulação juntamente a uma contração concêntrica do músculo  
264 gastrocnêmio (Denoix, 2014).

265

## 266 2.3 PRINCIPAIS DISTÚRBOS DA ARTICULAÇÃO FÊMORO-TÍBIO-PATELAR

267

### 268 **2.3.1 Doenças ortopédicas de desenvolvimento**

269 As doenças ortopédicas de desenvolvimento (DOD) são um grupo de distúrbios  
270 complexos que podem ocorrer em animais principalmente durante a fase de  
271 crescimento (Boado e López-Sanromán, 2016). Essas doenças incluem osteocondrose  
272 (OC), osteocondrite dissecante (OCD), fisite, lesões císticas subcondrais, síndrome de  
273 wobbler e deformidade flexoras. Os sinais clínicos são variáveis em relação a  
274 claudicação, alteração postural, efusão articular, edema articular e fraturas, além de ser  
275 comum visualizar múltiplas DOD em um mesmo animal (Kawcak e Baxter, 2011).

276 DOD são causas comuns de dor e claudicação em animais de trabalho, a  
277 causa está relacionada a múltiplos fatores de risco, dentre outros estão: velocidade de  
278 crescimento, a alimentação, regime de exercício e a genética (Lepeule et al., 2008). E é  
279 uma causa comum de dor e claudicação em animais de trabalho.

280 Recentemente Bastos, (2015) avaliou 85 animais de quatro a seis meses de  
281 idade para determinar a ocorrência da síndrome osteocondral juvenil e 76,5% (65/85)

282 deles apresentaram manifestações dessa síndrome, e desses, a articulação FTP foi a  
283 mais acometida, em 52,9% (45/65) dos animais avaliados.

284 Lepeule et al. (2008) por sua vez avaliou 392 animais em início de treinamento e  
285 relatou a presença de DOD em 66,3% dos animais com menos de um ano de idade,  
286 além disso as áreas mais afetadas por essas doença foram a articulação FTP e a  
287 região proximal do casco.

288 A OCD acontece quando existe a presença de fragmentos cartilaginosos ou  
289 ósseos e cartilaginosos que se desenvolvem na superfície articular das articulações  
290 dos equinos. É o distúrbio mais comumente encontrado na DOD, causando uma  
291 claudicação moderada e presença de efusão articular no local da lesão (Kawcak e  
292 Baxter, 2011).

293 Os sinais clínicos podem se desenvolver em qualquer idade, no entanto é  
294 frequente o acontecimento de lesões subclínicas que podem ter uma resposta aguda  
295 ou não em animais adultos, principalmente em casos que não tenha ocorrido à  
296 fragmentação. Segundo McIntosh e McIlwraith (1993a idade média de diagnóstico de  
297 OCD na articulação FTP variou seis a 12 meses de idade.

298 As lesões císticas subcondrais normalmente são consideradas lesões  
299 degenerativas relacionada ao crescimento, porém podem ser decorrentes de trauma ao  
300 osso subcondral (Ray et al., 1996). Em ambos os casos, ocorre uma formação do cisto  
301 relacionada à inflamação óssea. Esse distúrbio acomete qualquer região, porém é mais  
302 comumente observado no côndilo medial do fêmur (Nixon, 2010; McIlwraith, 2011).

303 São mais comumente descritas em animais jovens, porém já foram relatadas em  
304 equinos de até 12 anos de idade (McIlwraith, 2011). Esses cistos são alterações  
305 importantes e na maioria dos casos levam a algum grau de claudicação em algum  
306 estágio do treinamento de animais atletas, geralmente no início da carreira (Rhoades,  
307 2008).

308 A etiologia desse distúrbio na articulação FTP é controversa. Anteriormente  
309 eram considerados uma manifestação de OC, porém podem estar relacionados a  
310 trauma, pelos relatos e estudos experimentais em animais adultos (Ray et al., 1996;  
311 Nixon, 2010).

312

313     **2.3.2 Lesões intra-articulares dos côndilos femorais e da tróclea femoral**

314         Esses distúrbios geralmente são causados por traumas externos, que leva aos  
315         animais apresentarem uma claudicação moderada a severa, efusão articular e dor na  
316         movimentação do membro. Apresentam um bom prognóstico após a remoção dos  
317         fragmentos por artroscopia (Montesso e Wright, 1995; Baxter, 2011).

318

319     **2.3.3 Fratura e luxação da patela**

320         As fraturas e as luxações na patela são raras em equinos, podendo estar  
321         associadas a traumatismo grave de tecido mole envolvendo os ligamentos e a cápsula  
322         articular da FTP (Sullins e Kawcak, 2011).

323         É um distúrbio mais encontrado em animais de raças pequenas devido a sua  
324         predisposição genética. As luxações alteram a anatomia normal da patela em direção  
325         da porção lateral da tróclea femoral, no entanto distúrbios musculares, ósseos e  
326         ligamentares também podem ser considerados como um fator predisponente (Ghamesi  
327         et al.,2015).

328         O prognóstico varia de acordo com a origem da lesão, a luxação patelar  
329         congênita apresenta uma melhor resposta ao tratamento, sendo que neste caso esse  
330         distúrbio pode estar presente unilateral ou bilateral (O'Meara e Lischer, 2009).

331

332     **2.3.4 Desmrite dos ligamentos patelares**

333         Esse distúrbio é raro, normalmente acomete o ligamento patelar medial, por  
334         traumatismo direto. Geralmente observado em animais atletas após colidirem com  
335         algum objeto diretamente. O grau de claudicação varia de acordo com a lesão,  
336         envolvendo osso, e/ou a inserção do tendão patelar (Dyson, 1994).

337         Apesar de ser difícil o diagnóstico desse tipo de distúrbio, pode ser realizada a  
338         identificação e palpação da região do ligamento quando estiver inchada e dolorida  
339         (Goodrich, 2011). Essa condição apresenta um prognóstico ruim, e mesmo após o  
340         tratamento, o animal continua apresentando algum grau de claudicação (Walmsley,  
341         2005).

342

343     **2.3.5 Lesão do ligamento colateral**

344 A lesão de ligamento colateral na articulação FTP é considerada incomum na  
345 clínica de equinos, porém, quando ocorre, o ligamento colateral medial é o mais  
346 envolvido, principalmente em animal adulto. Já foram relatadas lesões em ligamento  
347 colateral lateral, porém apenas quando associada a lesões de menisco (Goodrich,  
348 2011).

349 Pode ser observada a claudicação, no entanto em caso de ruptura do ligamento  
350 o animal apresenta muita dor até mesmo antes do exame de palpação. Além disso,  
351 pode apresentar edema e calor na região do ligamento. O prognóstico é ruim,  
352 resultando em uma constante instabilidade dessa região, levando a osteoartrite severa.  
353 (Walmsley, 2005).

354

### 355 **2.3.6 Lesão do ligamento cruzado cranial ou caudal**

356 A lesão do ligamento cruzado geralmente ocorre em cavalos adultos como  
357 resultado de um episódio traumático, devido a uma hiperextensão da articulação FTP  
358 ou uma rotação repentina da articulação durante uma flexão parcial (Walmsley, 2005).  
359 A lesão do ligamento cruzado caudal é menos frequente que do ligamento cruzado  
360 cranial, além de normalmente ser rompido juntamente com o ligamento colateral medial  
361 (Goodrich, 2011).

362 A claudicação varia de acordo com a instabilidade FT e o grau da lesão,  
363 variando de uma desmite a uma fratura por entorse. O caso da ocorrência de uma  
364 entorse que leva a uma fratura parcial ou torção sem a ruptura do ligamento, o  
365 prognóstico é comprometido (Goodrich, 2011). O prognóstico é ruim caso ocorra uma  
366 lesão grave, sendo que no relato de Prades et al. (1989), seis de dez animais não  
367 voltaram a trabalhar normalmente após a ruptura do ligamento.

368

### 369 **2.3.7 Lesões de menisco**

370 O menisco possui uma importante função biomecânica na articulação FTP dos  
371 equinos, estabilizando a articulação promovendo uma congruência entre o fêmur e a  
372 tíbia, absorvendo o choque pela cartilagem e reduzindo os mecanismos de fricção na  
373 articulação (Frithian et al., 1990).

374 Lesões normalmente são provenientes de trauma agudo, e podem progredir  
375 para uma osteoartrite crônica, geralmente afetando mais o menisco medial em  
376 comparação ao menisco lateral (Kawcak e Baxter, 2011).

377 O sinal clínico não é específico para o distúrbio, e necessita de exames  
378 complementares para confirmação, sendo levados em consideração o histórico de  
379 algum trauma, presença de claudicação e dor em palpação da região (Walmsley,  
380 2005). No caso de uma lesão aguda, os animais irão apresentar claudicação evidente,  
381 com acometimento de outros tecidos moles da FTP (Kawcak e Baxter, 2011).

382 Quando o animal apresenta ruptura dos ligamentos colaterais ou cruzados, ou  
383 um dano associado ao menisco medial, o prognóstico fica pobre, pois poderá resultar  
384 em claudicação crônica. Alguns animais têm uma boa resposta ao procedimento de  
385 artroscopia, porém geralmente essas lesões vêm associadas a um acometimento de  
386 outras estruturas de sustentação da FTP (Kawcak e Baxter, 2011).

### 388 **2.3.8 Sinovite / Capsulite / Osteoartrite**

389 Animais que sofrem de estresse crônico repetitivo em membros pélvicos estão  
390 suscetíveis a ocorrência de sinovite, e na articulação FTP pode afetar principalmente  
391 no compartimento medial. No entanto, todos os distúrbios citados anteriormente  
392 podendo acometer a articulação FTP são fatores predisponentes para essa alteração e  
393 consequentemente para a osteoartrite (Rhoades, 2008)

394 Segundo Rhoades (2008), a principal causa de claudicação em sua rotina clínica  
395 esteve relacionada à sinovite decorrente de distúrbio no menisco medial.

396 Nem todos os cavalos apresentarão claudicação, no entanto, a articulação  
397 apresentará uma efusão sinovial de grau leve a moderado. Esse achado pode não  
398 alterar o trabalho do animal, mas deve-se realizar exames periódicos para acompanhar  
399 a progressão dessa afecção (Sullins e Kawcak, 2011).

400 A osteoartrite causa edema significativo na FTP, com perda de massa muscular  
401 e normalmente com claudicação evidente. É comum ocorrer juntamente com outros  
402 distúrbios locais como lesões císticas subcondrais no côndilo medial femoral e lesões  
403 em menisco medial, porém em alguns animais podem desenvolver esse distúrbio sem  
404 alguma lesão evidente (Sullins e Kawcak, 2011).

405        Segundo Sullins e Kawcak (2011) é possível controlar a sinovite apenas com  
406        medicação, desde que não apresente um processo primário do distúrbio. Porém caso  
407        seja crônica, pode resultar um dano na cartilagem articular levando a osteoartrite, e seu  
408        prognóstico varia de acordo com o grau da lesão.

409

410        **2.4 DIAGNÓSTICO POR ACUPUNTURA**

411

412        A medicina veterinária holística procura atender ao paciente como um todo, e  
413        neste contexto a medicina veterinária integrativa procura a união de métodos tanto para  
414        o diagnóstico como para o tratamento (Ness, 2005).

415        A acupuntura tem evidências que a datam de mais de 5000 anos na China,  
416        aonde é considerado o local de origem dessa terapia. O primeiro registro da sua  
417        utilização vem de uma aldeia na China de Chou K' que provavelmente foi habitada  
418        entre 400 mil a 200 mil anos atrás (Jagger e Robinson, 2006). Segundo McCluggage  
419        (2006), inicialmente as agulhas eram confeccionadas de pedra e osso de peixes. A  
420        medicina oriental apenas começou a conquistar o seu espaço no mundo ocidental a  
421        partir de 1960. Antes desse período pouca documentação sobre o desenvolvimento da  
422        acupuntura fora da Ásia havia sido relatado (McCluggage, 2006).

423        O termo provém do latim *acus*, que significa agulha, e *pungere*, perfurar. É a  
424        técnica de perfurar a pele com agulha em locais predeterminados, chamados de  
425        "acupontos" ou "pontos de acupuntura", usada para tratar ou prevenir doenças  
426        (Schoen, 2000).

427        A acupuntura vem sido utilizada em equinos desde 2000 a 3000 a.C. durante a  
428        dinastia Shang e Chow na China. Em 650 a.C. Bai-le escreveu o Canon de Medicina  
429        Veterinária, considerado o primeiro livro de medicina veterinária a discutir os tópicos de  
430        acupuntura e moxabustão com ênfase em equinos (Schoen, 2000).

431        Em 1974 a Sociedade Internacional de Acupuntura Veterinária (IVAS) foi  
432        fundada, o que auxiliou no crescimento da acupuntura veterinária e em 1996 a AVMA  
433        (*American Veterinary Medicine Association*) reconheceu a acupuntura como uma  
434        modalidade válida (Schoen, 2000).

435 A acupuntura não é aplicada somente ao tratamento, mas também tem papel  
436 importante no diagnóstico dos desequilíbrios e afecções orgânicas. O diagnóstico por  
437 acupuntura em equinos baseia-se nos trajetos dos meridianos ou canais energéticos,  
438 nos pontos de assentimento ou associação, e na teoria dos cinco elementos. Através  
439 destas técnicas é possível chegar aos diagnósticos de lesões articulares, ósseas,  
440 musculares, tendíneas e ligamentares, tanto de membros torácicos quanto pélvicos.  
441 Além disso, é possível se obter diagnóstico de condições endócrinas e doença  
442 neurológica (Schoen, 2000).

443 Um estudo realizado por Chvala et. al (2004) demonstrou haver correlação  
444 positiva entre a sensibilidade em alguns pontos de acupuntura e a presença de herpes  
445 vírus em equinos. Em 2006, Escodro demonstrou que alguns pontos de acupuntura  
446 podem ser indicativos de mieloencefalite protozoária equina em animais que não  
447 apresentam sinais clínicos evidentes da doença (Joaquim, 2012).

448 Em um estudo realizado por McCornick (1996), foram avaliados 327 cavalos  
449 Puro-Sangue-Inglês de corrida e examinados por claudicação ou rotina de exame  
450 musculoesquelético através do exame convencional e a palpação diagnóstica por  
451 acupuntura. Em seguida foram realizados bloqueios anestésicos na região da  
452 articulação metacarpo-falangeana e, em 54% dos animais que tiveram exame  
453 indicativo de afecção nesta articulação a sensibilidade nos pontos diagnósticos  
454 sugestivos reduziu após a medicação.

455 Still (2013) avaliou a sensibilidade localizada no meridiano na Vesícula Biliar em  
456 100 cavalos com histórico de baixo desempenho, graduou a intensidade da dor, e  
457 apenas os que apresentaram dor moderada a severa foram incluídos no estudo. Para  
458 os 100 animais foi possível relacionar a dor no referido meridiano com alterações em  
459 tendões e outras estruturas musculoesqueléticas.

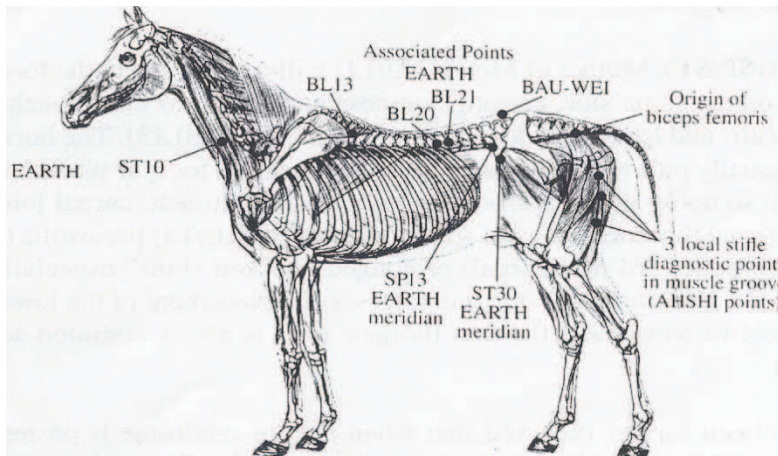
460 A avaliação clínica por acupuntura foi associada à avaliação convencional em  
461 exames de compra em 23 cavalos, sendo que desta forma obteve-se um resultado  
462 mais completo com relação a condição clínica dos animais (Michelotto et al., 2007).

463 Pontos de acupuntura reativos são detectados pela sensibilidade no ponto. Em  
464 pessoas, demonstrou-se que, quanto o maior número de pontos sensível encontrados,  
465 maior o desequilíbrio na homeostasia orgânica (Dung, 1988). Em cavalos diversos

466 padrões de dor musculoesquelética são encontrados. Os pontos gatilhos miofaciais,  
467 ligamentos e músculos doloridos, ou dores generalizadas, são achados típicos na  
468 maioria dos casos. Enquanto essas condições influenciam o bem estar e  
469 rendimento desportivo dos cavalos, elas podem ser diagnosticadas e tratadas de  
470 maneira efetiva e reproduzível através da acupuntura (Still, 2013).

471 Segundo Schoen (2000), cada ponto reativo utilizado para diagnóstico através  
472 da palpação por acupuntura pode estar relacionado a cinco diferentes afecções. Assim,  
473 é necessário o animal apresentar um padrão de pontos reativos que indiquem uma  
474 condição clínica ou afecção específica, para o clínico poder suspeitar dessa alteração.

475 Cain (2003) descreve muitas síndromes clínicas relacionadas a padrões de  
476 pontos de acupuntura reativos ou doloridos em cavalos, e dentre elas está a síndrome  
477 FTP. Especificamente descreveu a síndrome FTP onde um ponto sugestivo para  
478 afecção desta articulação, localizado na origem sacral do músculo bíceps femoral, está  
479 associado a reação a pressão nos pontos Bexiga (B)-20 e/ou B-21 e Estômago (E)-30  
480 (Figura 4). Mostrando o envolvimento dos órgãos Estomago e Baço-Pâncreas pela  
481 relação com a  
482 articulação FTP.



484  
485 Figura 4: Pontos descritos por Marvin Cain (2003) para diagnóstico e tratamento da síndrome  
486 patelar.

487  
488 A articulação FTP, por sua importância clínica e diagnóstico desafiador tem sido  
489 objeto de interesse e estudo. Michelotto et al. (2014) relataram a utilização de pontos  
490 de acupuntura relacionados com distúrbios na articulação FTP em 86 cavalos de 810

491 animais avaliados. Neste trabalho, foram avaliados animais da rotina clínica do autor  
492 nos períodos de 2001 a 2012, aonde vários cavalos que apresentaram a suspeita de a  
493 afecção na articulação FTP através a acupuntura comprovou-se realizando exames  
494 complementares com ultrassom e radiografia.

495 A sensibilidade em pontos de acupuntura pode fornecer um diagnóstico  
496 confiável para lesões musculoesqueléticas pré-existentes (Xie e Trevisanello, 2007).  
497 Desta maneira a utilização de um diagnóstico por acupuntura associado com exames  
498 complementares de radiografia e ultrassonografia, dentre outros, pode ser realizado em  
499 conjunto para a confirmação de distúrbios anatômicos específicos (Alfaro, 2014).

500 Ainda assim, são poucos os conduzidos a fim de se testar e confirmar a  
501 acupuntura diagnóstica. Também faltam estudos contendo um delineamento  
502 experimental rigoroso, que resultem em informações de alta qualidade e relevância  
503 clínica, o que tem sido enfatizado a fim de se contribuir de forma importante para o  
504 conhecimento da acupuntura (Chrisman et al., 2014; Mayo, 2014).

505  
506  
507  
508  
509  
510  
511  
512  
513  
514  
515  
516  
517  
518  
519  
520  
521

CAPÍTULO 3

### **3 PREDICTION OF STIFLE JOINT DISEASES BASED ON THE PRESSURE OF ACUPUNCTURE POINTS**

## ABSTRACT

**Introduction:** Stifle joint disease is frequent in horses, representing a challenging diagnosis for the equine veterinary practitioner. Acupuncture is a tool used to help the diagnosis of musculoskeletal diseases in horses, including the stifle joint. **Objective:** To evaluate the acupuncture palpation diagnosis as a predictive method for stifle disease diagnosis in horses. **Method:** 39 horses [(12 Brazilian-sport-horse, six Thoroughbreds, one European horse, one Appaloosa, one Lusitanian and 18 mixed breed, being 17 females and 22 males, aging between 2 and 18 years old ( $9.7 \pm 4.5$  years))] were evaluated. Amongst subjects nine animals had the complain of poor performance, one of them was suspect of front limb lameness while 29 were enrolled in usual athletic activities. None of them had a history of stifle disease at the period of the study or previously. In the study it was considerate the pressure in acupuncture examination diagnosis, performed by two evaluators, independently, using a rounded plastic needle cover as a probe. The animals with sensitivity at the suggestive point for stifle, located at the sacral origin of the biceps femoris muscle, together with the points Bladder (BL)-20 and/or BL-21, were considered as the minimum diagnosis and were included at the stifle group (S, n = 31), and animals with none clinical indication included in the control group (C, n = 8). Then it was performed the image evaluation, with the radiograph (caudocranial oblique  $20^\circ$  and lateromedial projections performed with an EKlin digital equipment) and the ultrasound (performed with an equipment Ultrasound Siui® CTS 5500, with a linear transducer of 10 mHz in real time), each exam was performed by a different professional, that had no previous knowledge of the results of the clinical evaluation as well as of the other image exam, performing the findings description and grading. Thereafter, the limbs of the evaluated horses were divided into three groups, one embracing the limbs of the same side of the clinical suspected diagnosis

553 (suspected limb group, SLG, n = 48), other with the limbs with no clinical suspicion but  
554 contralateral to the suspected limbs, (non-suspected limb group, NSLG, n = 14), and the  
555 last with the animals of the control group, the (control limbs group, CLG, n = 16). The  
556 statistical analysis compared the groups S and C with the Mann-Whitney test, and the  
557 Kruskal-Wallis test followed by the Dunn was used to compare the SLG, NSLG and  
558 CLG, using the software GraphPad Prism 5.0 (San Diego, CA, USA), considering p <  
559 0.05 as significant. It was performed the sensibility and specificity test to evaluate the  
560 predictive values of the images exams. **Results:** Considering the acupuncture  
561 evaluation, there was higher number of acupuncture sensitive points were evidence in  
562 the S group in comparison to the C group ( $6.0 \pm 2.80$  vs.  $0.25 \pm 0.45$ , p < 0.0001). The  
563 ultrasound scores were higher in S than in C (1.0 vs. 0. p = 0.0002), The radiographic  
564 findings did not present difference between the S and C group. The sensibility and  
565 specificity of the proposed acupuncture diagnosis, considering the findings of the  
566 radiograph and ultrasound exam, was respectivity of (80% and 25%). The association of  
567 the S point with the GB-DTC point presents a sensibility of 100% and a specificity of  
568 80%. **Conclusion:** The suggested acupuncture palpation diagnosis for stifle disease  
569 can be consider predictive for the lesions in the stifle joint, as well as it is important to  
570 associate ultrasound and radiography for joint evaluation.

571  
572 **Keywords:** Diagnosis. Horse. Patella. Radiograph. Traditional Chinese Medicine.  
573 Ultrasound.

574  
575 3.1 INTRODUCTION

576  
577 The stifle joint is a large and complex joint of horses, and it has an important role at  
578 the reciprocal apparatus controlling the elasticity and rigidity supporting the animal  
579 coordination and balance during the movement (Denoix, 2014).

580 The diseases of the stifle joint are consider one of the main cause of pain and  
581 lameness in horses, and it has been documented due to the importance of these  
582 disruptions for more than 50 years. It was previously described in 8% of 835 horses  
583 evaluated with hind limb and spinal pain (Vaughan, 1965) and, in 2% of 5388 horses

584 with musculoskeletal disruptions (Anon, 1965). Recently Frisbie et al. (2014) considered  
585 that at least 40% of lesions in the stifle joint of training horses resulted in high economic  
586 loss. Stifle joint lesions can be degenerative due to repeated effort (Tangjitaroen et al.,  
587 2009), although osteochondrosis must be considered in young animals. Stifle joint was  
588 the major location for osteochondritic lesions in weaning Thoroughbred horses in the  
589 study of Bastos (2015). In another study evaluating 392 animals in the beginning of  
590 training, orthopedic disease was describe in 66,3% of the evaluated animals, being the  
591 stifle joint and the proximal region of the hock the most affected sites (Lepeule et al.,  
592 2007).

593 The acupuncture is a described technique applied to identify lesions in the  
594 musculoskeletal apparatus, including the stifle joint (Schoen, 2000; Alfaro, 2014). Cain  
595 (2003) describe patterns of sensitive acupuncture points suggesting different  
596 musculoskeletal diseases of horses, and one of these pattern is for the stifle joint  
597 diseases. The stifle disease diagnosis involves, sensitivity in a suggestive point for stifle  
598 joint, located at the sacral origin of the biceps femoris muscle, together with the points  
599 Bladder (BL)-20 and/or BL-21, and Stomach (S)-31 due to the involvement of Earth  
600 meridians of Traditional Chinese Veterinary Medicine (Stomach and Spleen). Other  
601 acupuncture points are suggested for the diagnosis of stifle as the Gall-Bladder (GB)-  
602 28, GB-29, Spleen (SP)-13, GB-33 (Xie e Preast, 2007), S-30, BL-50, BL-49, BL-36,  
603 BL-37, BL-38 (Flemming, 2006) and SP-11,SP-12, S-31, BL-36, BL-37, BL-38, *Dan-*  
604 *tian*, *Ju-liao* (Alfaro, 2014). However, using the diagnosis proposed by Cain (2003),  
605 Michelotto et al. (2014) described 86 suspected cases of stifle disease examining 810  
606 horses, with radiographic and/or ultrasonographic evaluation of 21 of them which  
607 resulted in findings consistent of osteochondrosis, degenerative joint disease, arthritis,  
608 medial femoral condyle bone cyst, desmitis of patellar or collateral ligaments and  
609 meniscal lesion. In this cases report, other acupuncture points were significantly  
610 correlated with the stifle suggestive point for the stifle disease diagnosis, as the three  
611 local stifle points describe by Cain (2003) located at the posterolateral region of the  
612 tight, GB-27, SP-13 and BL-54.

613 Nevertheless, studies to test and confirm the diagnostic acupuncture are scarce.  
614 Also there are a few studies with an experimental methodology to provide high quality

615 and clinical relevance to contribute to the acupuncture knowledge (Chrisman et al.,  
616 2014; Mayo, 2014). In this context we hypothesize that the clinical examination using  
617 the diagnostic acupuncture can identify horses with stifle joint disease, and that horses  
618 with different lesions in the stifle joint are identified by the evidence of a sensitive  
619 acupuncture points pattern. Subsequently, the aim of the present study was to  
620 investigate the predictive value of the acupuncture palpation for the diagnosis of stifle  
621 joint disease in horses. Here we propose a minimum diagnosis test to be applied by the  
622 equine practitioners during equine lameness exam.

623

## 624 3.2 MATERIAL AND METHODS

625

### 626 3.2.1 Type of study and ethical aspects

627

628 This is an blind, prospective study, case-control, to investigate if acupuncture  
629 diagnosis can be predictive for stifle diseases of horses. This study was approved by  
630 the Animal Use Ethical Committee of the Pontifical Catholic University of Parana  
631 (PUCPR) under the registration number 895.

632

### 633 3.2.2 Animals

634

635 A total of 39 horses were examined: 12 Brazilian-sport-horse, six Thoroughbreds,  
636 one European equitation horse, one Appaloosa, one Lusitanian and 18 mixed breed,  
637 being 17 females and 22 males, aging between 2 and 18 years old ( $9.7 \pm 4.5$  years).  
638 The animal were from the equestrian establishments, in the city of Curitiba, state of  
639 Paraná, Brazil, and were involved in the activities of mounted police (18/39), jumping  
640 (13/39), race (7/39) and recreation (1/39).

641 The horses were independently examined by two professional trained in  
642 acupuncture diagnosis, and it was performed in different days of the same week. The  
643 results of the two clinical exams were compared in order to distribute the animals in two  
644 groups: one of the groups with animals suspected of having stifle joint lesions (S group ,  
645 n = 31), and the other control group (group C, n= 8) with animals that did not present

any signs of stifle or any other musculoskeletal condition diagnosis during the acupuncture examination. The groups selection were performed by contingency, due to the evaluation of 84 horses during the study period (August 2014 to July 2015). The inclusion criteria were established by the agreement of the clinical suspicion by both examiners at the acupuncture examination according to the minimal diagnosis established (topic 3.2.3 below). The disagreement during the acupuncture examination or the presence of a different musculoskeletal condition or the evidence of a clinically obvious stifle condition at the moment of the exam or at clinical history, led to the exclusion of the animal from the study.

The radiograph and ultrasound exam were performed by two different veterinarians trained in their area of image diagnosis, completely unaware of the clinical suspicion. Ultrasound findings were scored and described by the examiner. The radiograph images were number and sent to the evaluation of four different trained veterinarians in Brazil including the one that obtained the images, all unaware of the clinical suspicion. The animals were also evaluated for body score condition according to the scoring system of Carrell e Huntington (1988).

662

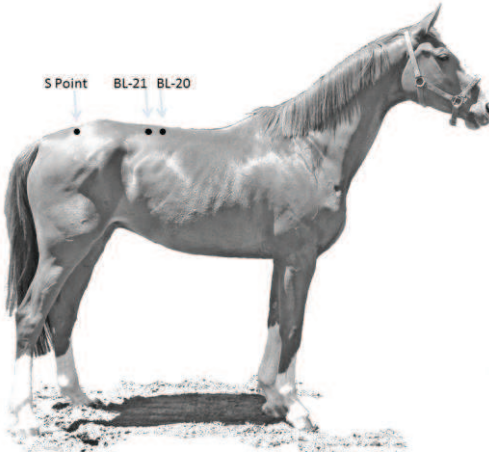
### 663 **3.2.3 Acupuncture examination**

664

665 The acupuncture clinical examination was performed using a plastic needle  
666 cover, to pressure the acupuncture points, and identify the sensitive points. The  
667 pressure exerted on the energetic acupuncture channels and points with the needle  
668 cover was continuous consistent and uninterrupted. The pressure was initially  
669 superficial followed by a deeper one. The pain reactions of the horse were identify by  
670 muscular contraction, flinch or moving from the examiner, behavior and mental changes  
671 of the horse observed by irritation, trying to bite or kick the examine. The complete  
672 exam began on the head and neck, continuing on shoulders, abdomen, back and hind  
673 limbs, following the anatomy of the energetic acupuncture channels as performed by  
674 Michelotto et al. (2014) and previously described by Fleming (2006) and Cain (2003).

675 The animals were considered suspect of stifle syndrome when at least the  
676 following acupuncture points were sensitive: the suggestive point for stifle joint (S point)

677 located at the sacral origin of the biceps femoris muscle, together with the points BL-20  
678 located at the 17<sup>th</sup> intercostal space lateral to the dorsal midline in the ileocostal muscle  
679 groove and/or BL-21 located caudal to the last rib lateral to the dorsal midline in the  
680 ileocostal muscle groove (Cain, 2003; Michelotto et al., 2014) (Picture 5).



681  
682 Picture 5 – Minimal diagnostic suggested for the suspicion of stifle joint disease in horses.  
683 Suggestive point for stifle joint (S point) located at the sacral origin of the biceps femoris  
684 muscle, together with the points Bladder (BL)-20 located at the 17<sup>th</sup> intercostal space lateral to  
685 the dorsal midline in the ileocostal muscle groove and/or BL-21 located caudal to the last rib  
686 lateral to the dorsal midline in the ileocostal muscle groove.

687  
688 Other suggestive acupuncture point proposed by different authors for the  
689 diagnosis of stifle joint were also included in the acupuncture examination as the GB-28,  
690 GB-29, SP-13, S-31, GB-33 (Xie e Preast, 2007), BL-50, BL-49, BL-36, BL-37, BL-38  
691 (Flemming, 2006), SP-11,SP-12, S-31, BL-36, BL-37, BL-38, *Dan-tian, Ju-liao* (Alfaro,  
692 2014).

693

#### 694 **3.2.4 Radiographic exam**

695  
696 The radiograph exams were performed using an Eklip digital equipment  
697 (Carlsbad, California, EUA) MARK III model associated with an x-ray emitter MINXRAY  
698 (Illinois, EUA) TR 90 model. The projections performed were caudocranial oblique 20°  
699 and lateromedial. The images recording were executed by the same veterinarian during  
700 the entire study that was unaware of the clinical suspicion. The radiograph images were

701 randomly numbered and the findings were listed by the same professional that  
702 performed the images unaware of the clinical suspicion and ultrasound findings. The  
703 radiograph findings were listed according to the animal group.

704

705 **3.2.5 Ultrasound exam**

706

707 The ultrasound exam was performed with an equipment Ultrasound Siui® CTS  
708 5500, with a 10 mHz in real time linear transducer. The stifle joint was evaluated by the  
709 lateral, medial and cranial approaches on the same week of the acupuncture evaluation.  
710 This evaluation was performed as previously described by Whitcomb (2012). The  
711 horses were not sedated and the hair was not clipped because all horses were in  
712 training and competition. The evaluator was not aware of the results of the previous  
713 exams.

714 Each finding was scored 0 to 3 using a proposed scoring system in the present  
715 study, were 0 = absent, 1 = mild lesions with small irregularities or loss of the echogenic  
716 pattern, 2 = moderate lesions – well define changes, but with no sign of calcification,  
717 edema and fiber rupture, 3 = severe lesions – with define changes of the echogenic  
718 pattern (ANEXO 3). The general classification of the joint condition was a result of the  
719 mean value of the findings scores of each joint, resulting 0 to 3 (good, mild, moderate  
720 and severe).

721 At the beginning of the exam, the same professional that performed the  
722 ultrasound exam evaluated the presence of synovial fluid effusion at the stifle joint of  
723 both limb. The joint distension was evaluated with the scoring system according to  
724 Bergin et al. (2006) (ANEXO 2).

725

726 **3.1.6 Statistical analysis**

727

728 Initially, it was performed the descriptive analysis of data of groups suspected of  
729 stifle joint disease (S) and the control (C) group. The Mann-Whitney test was used for  
730 comparisons between the S and C groups. Thereafter, it was consider the hind limbs as  
731 a separated unit for evaluation, resulting in three new groups, the suspected limb group

732 (SLG), embracing the limbs at the same side of the suspicious diagnosis, another group  
733 embracing the limbs without the acupuncture suspect diagnosis and contralateral to the  
734 suspected limbs, forming the non-suspected limb group (NSLG), and the last with the  
735 animals of the control group, the control limbs group (CLG). The comparison between  
736 SLG, NSLG and CLG groups was performed using the Kruskal-Wallis test followed by  
737 Dunn's test of multiple comparisons. The quantitative analyses are presented as mean  
738  $\pm$  standard deviation of the mean (SD), while the qualitative analyses are presented as  
739 median. It was performed the sensibility and specificity test to evaluate the predictive  
740 values of the acupuncture diagnosis. Correlations were analyzed with the Spearman  
741 test. All the analyses were performed using the software GraphPad Prism 5.0 (San  
742 Diego, CA, USA), considering significant when  $p < 0.05$ .

743

### 744 3.3 RESULTS

745

#### 746 3.3.1 Animals

747

748 The present study investigated animals between 2 and 18 years ( $9.7 \pm 4.5$  years). In the C group the mean age was  $10.0 \pm 4.6$  years, while in the S group it was  
749  $9.6 \pm 4.6$  years, with no statistical difference. According to the gender, there were 25%  
750 (2/8) females and 75% (6/8) males in the C group, while in the S group there were  
751 45.2% (14/31) females and 54.8% (17/31) males, with no prevalence of gender for the  
752 stifle joint disease suspicion ( $p > 0.05$ ).  
753

754 The horse's weight varied between 420 and 600 kg ( $491.7 \pm 45.4$  kg),  $491.3 \pm$   
755 43.3 kg for the S group and  $493.4 \pm 56.2$  kg for the C group. The observed body score  
756 was considered as 2 for 17.9% (7/39) of the investigated animals (they were totally of S  
757 group), 56.5% (22/39) with score 3 [51.6% (16/31) in the S group and 75% (6/8) in the C  
758 group] and 25.6% (10/39) of them with score 4 [25.8% (8/31) in the S group and 25%  
759 (2/8) in the C group].

760 Considering the 31 animals of the S group, 29.1% (9/31) had the complain of  
761 poor performance, 3.2% (1/31) suspected lameness in the front limb and 67.7% (21/31)

762 were involved in athletic activities without a history of stifle disease or other  
763 musculoskeletal disorder at the moment of study.

764 For the S group, the clinical acupuncture evaluation resulted in 77.4% (48/62) of  
765 limbs suspect of bearing a stifle conditions, 62.5% (30/48) of them were in the left and  
766 37.5% (18/48) in the right hind limb. Bilaterally was observed in 54.8% (17/31) of them.

767 Then, considering the limbs as the evaluation unit, there were 16 hind limbs in  
768 the control limbs group (CLG), 48 in the suspected limbs group (SLG) and 14 limbs in  
769 the non-suspected limbs group (NSLG).

770 Considering the synovial fluid distension, there was no evidence of distension in  
771 the CLG. The joint synovial distension was higher for the S in comparison with the C ( $p$   
772 = 0,015) (table 1).

773  
774 Table 1: The synovial fluid distension evaluated in horses according to the respective group.

	GMS	GMNS	GMC
<b>Grade 0</b>	60,40%	73,30%	100%
<b>Grade 1</b>	27%	20%	0
<b>Grade 2</b>	12,50%	0	0
<b>Grade 3</b>	2%	6,70%	0

775  
776 **3.3.2 Acupuncture examination**  
777

778 A higher number of acupuncture sensitive points were evidence in the S group in  
779 comparison to the C group ( $6.0 \pm 2.80$  vs.  $0.25 \pm 0.45$ , respectively,  $p < 0.0001$ ).

780 The minimal inclusion criteria for the diagnostic suspicion including the S point  
781 along with acupuncture point BL-21 was evidenced in 41.7% (20/48) of the suspected  
782 limbs, while with the BL-20 it was observed in 10.4% (5/48). Both BL-20 and BL-21  
783 acupuncture points were reactive at the same n 47.9% (23/48) of the suspected limbs.  
784 The BL-20 presented a specificity of 38%, a sensibility of 100%, a positive predictive  
785 value of 58% and a negative predictive value of 100%. While the BL-21 had a specificity

786 of 72.7%, a sensibility of 100%, a positive predictive value of 90.3% and a negative  
787 predictive value of 100%.

788 Other diagnostic points that were also reactive together with the minimal  
789 inclusion diagnostic criteria, and that could be proposed for the stifle joint disease  
790 acupuncture diagnosis, were listed in the table 2 below (Flemming, 2006). Considering  
791 the association of stifle point together with GB-DTC the sensitivity results in 100% with  
792 80% of specificity.  
793

### 794 **3.3.3 Radiographic exam**

795 The radiograph images were evaluated taking into consideration the animal  
796 groups. The professional that obtained the images was the one that performed the x-ray  
797 findings description, there was a higher number of findings in the S group than C,  
798 presenting a small specificity (20%) and a good sensibility of 79%.

799 Major findings were the remodeling and/or enthesophyte at the of medial tibia  
800 border (Picture 7A), flattening of the medial femoro-tibial joint space (Picture 8A),  
801 osteophyte, and sclerosis at the articular border of the medial femoral condyle. The  
802 radiographic findings distribution according to the limbs group is presented in Table 3.  
803

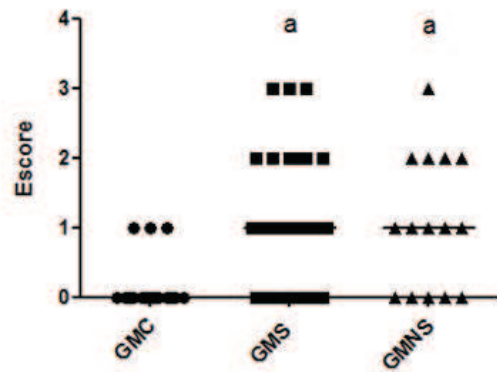
804 Table 3: Radiographic findings in control limbs group (CLG, n = 16), limbs suspect of stifle  
805 disease by the acupuncture clinical examination (SLG, n = 48) and group of limbs contralateral  
806 to the suspect limbs but without the inclusion minimal criteria for the acupuncture diagnosis  
807 (NSLG, n = 14).

Radiograph findings	CLG (times)	SLG (times)	NSLG (times)
<b>Flattening of the femoral medial condyle</b>	4	21	2
<b>Flattening of the articular space</b>	0	3	1
<b>Reaction at the medial collateral ligament insertion</b>	0	5	0
<b>Remodeling / enthesophytes at the medial tibial border</b>	8	31	3
<b>Osteophyte</b>	4	15	3
<b>Sclerosis at the articular border of the femoral condyle</b>	0	1	1

809 3.3.4 Ultrasound exam

810

811 The animals of the S group had a higher number of ultrasound findings than in  
812 the C group ( $p = 0.0001$ ). Considering the limbs of the SLG had an ultrasound scoring  
813 higher than CLG (1.0 vs. 0.19  $p = 0.0002$ ), but there were no difference in comparison  
814 with the NSLG. The ultrasound score of the NSLG was higher in comparison with the  
815 CLG (1.0 vs. 0.19  $p = 0.004$ ). There was no difference between SLG and NSLG (Picture  
816 6).



817

818 Picture 6: Distribution of the ultrasound scoring system (0 to 3) for the control limbs (CLG, n =  
819 16), limbs suspect of stifle disease by the acupuncture exam (SLG, n = 48) and contralateral  
820 limbs (NSLG, n = 14)  $p = 0.0002$  vs. CLG.

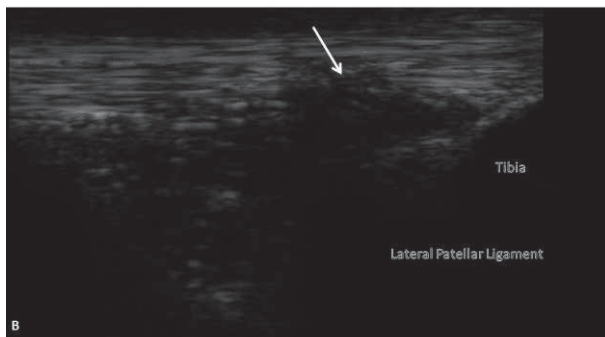
821

822 The ultrasound exam resulted in the following findings: irregularity of the pattern  
823 of the medial collateral ligament fibers and its distal and proximal insertions (Picture  
824 8C), loss of the linear pattern of the subchondral bone of the lateral or medial femoral  
825 trochlea, possibly an osteochondritis dissecans, osteophyte (Picture 9B), degeneration  
826 of the medial meniscus, loss of bone pattern of the medial femoral condyle (Picture 8B),  
827 partial fibers rupture, edema or cicatricial tissue at the medial patellar ligament (Picture  
828 7B), irregularity of the pattern of the cranial ligament of the medial meniscus, irregularity  
829 at the fibers and insertions of the lateral collateral ligament and synovial fluid distension.  
830 The ultrasound findings distribution according to the limbs groups is demonstrated in  
831 Table 4.

832



833



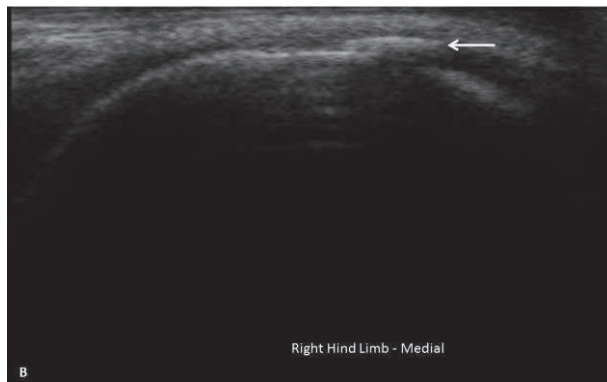
834

835 Picture 7: Images of a male, 13-year-old, Brazilian-sport-horse suspected diagnosis of stifle disease at  
836 the acupuncture examination. (A) Radiographic exam in the caudocranial view, flattening of the center of  
837 the articular margin of the medial femoral condyle, with underlying subchondral sclerosis (arrow) and  
838 remodeling / enthesophytes at the medial tibial border (arrow-head) (B) Cranial ultrasound exam,  
839 proximal to the left and distal to the right, fibrosis and partial tearing of the fibers of lateral patellar  
840 ligament (arrow). (C) Lateral ultrasound exam, proximal to the left and distal to the right partial tearing of  
841 the fibers of lateral collateral ligament (arrow).

842



843



844

845 Picture 8: Images of a female, 11-year-old, Brazilian-sport-horse suspected diagnosis of stifle disease at  
846 the acupuncture examination. (A) Radiographic exam in the caudocranial view, flattening of the center of  
847 the articular margin of the medial femoral condyle, with underlying subchondral sclerosis (arrow) and  
848 remodeling / enthesophytes at the medial tibial border (arrow-head) (B) Cranial ultrasound exam, medial  
849 to the left and lateral to the right, degeneration of the medial femoral condyle. (C) Medial ultrasound  
850 exam, proximal to the left and distal to the right, trauma to the insertion of the medial collateral ligament.  
851



852



853

854 Picture 9: Images of a male, 9-year-old, European equitation horse suspected diagnosis of stifle disease  
855 at the acupuncture examination. (A) Radiographic exam in the caudocranial view, flattening of the center  
856 of the articular margin of the medial femoral condyle, with underlying subchondral sclerosis (interrupted  
857 arrow), remodeling / enthesophytes at the medial tibial border (arrow-head) and trauma to the insertion of  
858 the medial collateral ligament. (B) Medial ultrasound exam, proximal to the left and distal to the right,  
859 10.33 mm enthesophyte at the femoral insertion of the medial collateral ligament, next to the medial  
860 meniscus.

861

862

863

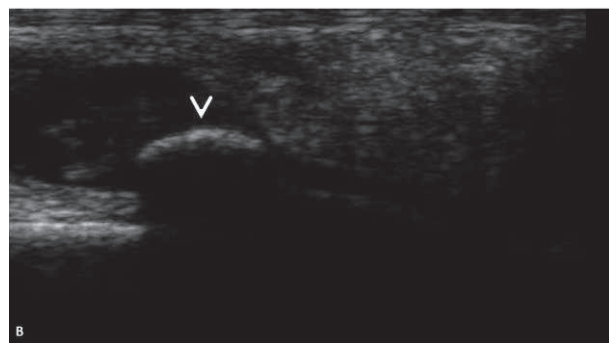
864

865

866

867

868



869      Table 4: Ultrasound findings after the acupuncture clinical examinations of the control limbs  
 870      group (CLG, n = 16), limbs suspected of stifle joint disease (SLG, n = 48) and contralateral  
 871      limbs to the suspected limbs, (NSLG, n = 14).

Ultrasound findings	CLG (times)	SLG (times)	NSLGS (times)
<b>Osteophytes</b>	0	7	2
<b>Desmitis of the medial collateral ligament</b>	1	11	3
<b>Desmitis of the lateral collateral ligament</b>	0	3	1
<b>Medial meniscus degeneration</b>	0	5	4
<b>Desmitis of the cranial ligament do medial meniscus</b>	0	2	3
<b>OCD of the lateral femoral trochlea</b>	1	7	3
<b>OCD of the medial femoral trochlea</b>	1	4	1
<b>Desmitis of the medial patellar ligament</b>	0	4	2
<b>Synovial proliferation in the joint</b>	0	2	1
<b>Degeneration of the medial femoral condyle</b>	1	5	3

873  
 874      Considering the SLG, 34/48 limbs that had the suspicion for the stifle joint  
 875      disease were confirmed by both radiographic and ultrasound exams, while in 4/48 a  
 876      disease confirmation was only with the ultrasound, in 2/48 it was confirmed only with the  
 877      radiography, and in 8/48 limbs there was no important findings in both exams.

878      The NSLG had 5/14 animals that both exams presented clinical findings, 5/14  
 879      animals showed presence of small lesions only on the radiograph and 4/14 did not  
 880      present any findings on any exams. Ten animals of the NSLG presented an ultrasound  
 881      score 0, but in these animals, six of them presented initial phase degeneration related  
 882      the following findings: two had a mild irregularity to the border of the meniscus, two had  
 883      different width between the femoral trochlea, one had synovial proliferation and one had  
 884      an entesophaty at the medial collateral ligament.

885      Finally, in the CLG 9/16 animals presented findings on the radiograph (7/9  
 886      presented remodeling / enthesophytes at the medial tibial border, 2/9 osteophytes and

887 2/9 had flattening of the medial femoral condyle), 4/16 did not present any findings, 2/16  
888 had ultrasound findings(one animal with OCD of the medial and lateral femoral trochlea  
889 and the other with degeneration of the medial femoral condyle) 1/16 had significant  
890 findings in both exams, osteophytes and remodeling / enthesophytes at the medial tibial  
891 border at the radiograph and desmitis of the medial collateral ligament at the ultrasound.  
892 This exam presented a good sensibility of 93% and a good specificity of 66%.

893 Combining the radiograph and ultrasound exam, it was presented a good  
894 sensibility (80%), but a low specificity (20%). Moreover, resulting in a positive prediction  
895 value of 90%.

896 Table 2: Other diagnostic points that were also reactive together with the minimal  
897 inclusion diagnostic criteria in horses: Gall-Bladder Dorsal *Tuber Coxae* (GB-DTC) (located at  
898 the dorsal border of the *tuber coxae* caudal to the GB-27), the GB-27 (located at the  
899 craniodorsal aspect of the *tuber coxae*), SP-13 (located at the cranioventral aspect of the *tuber*  
900 *coxae*), the three local stifle points described by Cain (2003) (located at the muscular groove  
901 between the biceps femoris and semitendinosus muscle), S-10 (located between the sternum  
902 mandibular and the ventral aspect of the brachiocephalic muscle), S-31 (ventral to the tuber  
903 *coxae* at the origin of the tensor fascia lata).

904

Points	% in the S group	Specificity	Sensibility	Positive Predictive Value	Negative Predictive Value
<b>GB-DTC</b>	85.4%	77.8%	96.7%	93.5%	87.5%
<b>GB-27</b>	75%	57.1%	100%	80.6%	100%
<b>SP-13</b>	75%	100%	91.1%	100%	62.5%
<b>Local point 3</b>	66.7%	61.5%	100%	83.9%	100%
<b>Local point 2</b>	62.5%	53.3%	100%	77.4%	100%
<b>Local point 1</b>	58.3%	47%	100%	70.9%	100%
<b>S-31</b>	56.3%	29.6%	100%	38.7%	100%
<b>S-10</b>	27,1%	25%	95.2%	48.8%	87.5%

905 3.4 DISCUSSION

906

907 In the present study, a proposed minimum acupuncture diagnosis for stifle  
908 disease was tested. Previously, the diagnosis of stifle conditions using the pattern of  
909 painful acupuncture points was demonstrated by our group, in a clinical case series  
910 (Michelotto et al., 2014). Here, it was cared for having a proper experimental design,  
911 with blind exams, control group, and radiography and ultrasound for all the investigated  
912 subjects. Radiography and ultrasonography, even though there are particular  
913 limitations, they were the chosen techniques to evaluate the stifle joints of the  
914 investigated horses, due to demonstrated importance on most joint structures  
915 evaluation and because availability in equine routine. The total predictively of the  
916 proposed acupuncture stifle diagnosis resulted in 83.3%, and the use of contingency  
917 samples that resulted in two homogenous groups, with a variation of age, breed, activity  
918 and gender, reinforce the predictive potential for the acupuncture diagnosis for stifle  
919 joint disease. It is suggested that the association with conventional methods for stifle  
920 investigation (Dyson, 2011) in general musculoskeletal investigation, can result in  
921 diagnosis improvement by equine professionals (Michelotto et al., 2007).

922 These exams presented a total of sensibility for the minimal diagnosis proposed  
923 in the study of 80%, but the specificity was 20%. That demonstrate that the acupuncture  
924 points used to the diagnosis of a stifle condition it has a reliable diagnosis of the animals  
925 with the disease, but the animals that don't have points pattern may present a stifle  
926 condition. But these result showed a positive predictively value of 90%, confirming the  
927 positive hypothesis of the present study.

928 The large muscular support of the stifle joint (Engelbert et al. 1993), as well as its  
929 involvement with the reciprocal apparatus (Stashak, 2011) makes the clinical  
930 manifestations of stifle conditions not always evident (Maulet et al., 2005). The stifle  
931 diagnosis represents a challenge for the clinician (Walmsley, 2003; Martinelli and  
932 Rantanen, 2009). The acupuncture diagnostic suspicion occurred during routine exam  
933 in 67% of the investigated animals, still in work and without a complaint. The majority of  
934 the investigated horses had a good body score, but the big muscle groups that support  
935 the joint can start disrupting slowly, and even though the clinical manifestation is not

936 perceived, the subclinical condition of the disease can interfere in the limb movement  
937 and its muscle development (Reardon and Lischer, 2008). The loss of muscle  
938 development could implicate in the synovial fluid effusion as an early clinical finding, as  
939 it was mainly observed in joints of the suspected limbs, but this must be better  
940 investigated and confirmed.

941 Then, it is proposed that the acupuncture diagnosis can be of value in early  
942 identifying stifle diseases, in developmental condition, as well as in the thorough  
943 prepurchase investigation (McCormik, 2006; Michelotto et al., 2007).

944 The five elements theory, stifle joint diseases are mostly related to the earth  
945 element that comprises the SP and S *Zang-fu* organs. For this reason, the association  
946 points for the Sp and S, located at the bladder channel (BL-20 and BL-21, respectively)  
947 (Schoen, 2000), were used, together with the acupuncture point suggestive of stifle  
948 involvement previously described by Cain (2003). These diagnostic points were  
949 considered for the diagnosis of stifle joint lesions by Cain (2003), Flemming (2006), Xie  
950 and Preast (2007) and Michelotto et al. (2014), even though they were not consider to  
951 be relevant by Xie and Preast (2007). Authors experience resulted in a proposal of a  
952 minimum suspect diagnosis to be tested. In fact, other mentioned diagnostic points are  
953 the GB-28, GB-29, SP-13, S-31, GB-33 (Xie e Preast, 2007), S-30, BL-50, BL-49, BL-  
954 36, BL-37, BL-38 (Flemming, 2006), GB-27, SP-13, S-31, BL-54 (Michelotto et al.,  
955 2014), SP-11,SP-12, S-31, BL-36, BL-37, BL-38, *Dan-tian*, *Ju-liao* (Alfaro, 2014), that  
956 were not subject of evaluation at the present study and must be investigated.

957 Some of the suggested diagnostic points, and others, as the GB-27, GB-DTC,  
958 SP-13, S-31, S-10, local point 1, local point 2 and local point 3, were also frequently  
959 identified in the evaluated horses in the present study, and should be considered by  
960 clinicians to be included in the diagnostic protocol, and must be properly tested. The  
961 evidence of different diagnostic points amongst the evaluated subjects probably refers  
962 to their different clinical condition, as other conditions could be involved. Moreover, as  
963 much painful acupuncture points are evidenced in the clinical exam, worse is the  
964 patient's condition, at least as observed in human patients (Dung, 1988).

965 When evaluating the importance of the points GVDTC associated with the FTP  
966 point presented an important result and also can be used as a reliable diagnosis for

967 stifle disease. These points combined presented a higher value for the sensibility and  
968 specificity analyses than the initial three points proposed by this study. Therefor they  
969 must be consider for evaluating horses suspicious of stifle condition.

970 In the acupuncture palpation diagnosis, the pattern related to stifle is referred as  
971 stifle syndrome (Cain, 2003), but further joint investigation must be proceeded.  
972 Radiography (Bodo et al., 2004) and ultrasonography (Redding, 2001) are most  
973 available for the equine clinician and easily performed. Arthroscopy (Cohen et al.,  
974 2009), magnetic resonance (Walmsley, 2005) and computed tomographic arthroscopy  
975 (Váldez-Martinéz, 2012) were also applied for stifle joint investigation. The association  
976 of x-rays with ultrasound resulted in a reliable diagnosis, efficiently demonstrating the  
977 stifle joint structures lesions as previously demonstrated (Beccati et al., 2013).

978 The findings of the radiographic exams had a low specificity of 20%, but the  
979 sensitivity of the radiographic exam was good (79%) and useful for the evaluation, and  
980 a positive predictive value of 74%. Moreover, the description and interpretation of the  
981 findings are more representative as the scoring system took into account age-related  
982 joint remodeling identified and scored also in the control limbs.

983 The scoring system suggested for grading the ultrasound exam was consider a  
984 good method and it is suggested to be use in future studies as a reliable system.

985 Therefore, the proposal for the acupuncture minimal diagnostic for stifle joint  
986 disease is confirmed, and can be related to different situations in this complex joint, as  
987 ligament lesions (collateral and patellar ligament), osteoarthritis and osteochondritis (Xie  
988 e Preast, 2007). The proposed diagnostic for stifle disease showed important for sport  
989 horses evaluation with decreased performance, or with lameness, as in the investigated  
990 animals. Also, being important in the conditions that can be consider subclinical,  
991 because the majority of the animals evaluated did not present complains by their owner,  
992 this can be related to a low intensity work or the lack of the owner experience. It is  
993 possible that the acupuncture diagnosis can look ahead a clinical manifestation as  
994 previously suggested (Michelotto et al., 2014). In the present study, few horses did not  
995 evidence image findings, as well as stifle joint condition was identified in young horses  
996 in training.

997       Initially, the affected limb is located at the side that it was observed the sensitive  
998 diagnostic points. Even though in several evaluated cases, there were also a large  
999 amount of sensitive point notice on the contralateral side, even when it was not  
1000 observed the complete inclusion diagnosis, but, as a result of positive ultrasound and  
1001 radiograph finding, they also must be evaluated.

1002       Finally, the majority of the joint presenting lesions and sensitive points at the  
1003 examination were in the left side (62,5%). There is no information of literature about the  
1004 influence of the evaluator being left or right handed affecting on the acupuncture  
1005 examinations, and if that can affect the force applied during the exam. At the present  
1006 study both evaluator were right handed, but the results of the evaluation were confirmed  
1007 by the ultrasound and radiograph exams, in this way confirming the reliability of the  
1008 exams performed by the pressure of the acupuncture points.

1009

### 1010 3.5 CONCLUSION

1011

1012       The proposed acupuncture diagnosis was predictive for stifle disease in horses  
1013 of different gender, ages and activities, confirmed by the associated use of radiographic  
1014 and ultrasonographic techniques. The demonstrated pattern of acupuncture points must  
1015 be tested by other professionals as well as other acupuncture points.

1016

1017

### 1018 **Conflict of interest statement**

1019 None of the authors have any conflict of interest to declare.

1020

1021

1022

1023

1024

1025

1026

1027

1028                   **4 CONSIDERAÇÕES FINAIS**

1029

1030                   O exame clínico por acupuntura demonstrou ter um resultado positivo perante  
1031 seu valor preditivo para o diagnóstico de lesões em estruturas das articulações FTP em  
1032 cavalos. Mesmo avaliando um grupo homogêneo de animais, foi possível perceber que  
1033 esse exame diagnóstico não sofre influência com a idade, atividade, sexo e raça do  
1034 animal, podendo ser utilizado com confiabilidade em qualquer condição.

1035                   Durante o exame por acupuntura foi possível observar as manifestações clínicas  
1036 do diagnóstico por acupuntura, além de estudar e correlacionar essas manifestações  
1037 com os achados imagiológicos.

1038                   Os parâmetros ultrassonográficos estiveram de acordo com os achados por  
1039 acupuntura diagnóstica, principalmente em animais sem sinais clínica e suspeitos de  
1040 afecção FTP. Esse resultado torna possível determinar lesões nessa articulação  
1041 iniciais, ou até avançadas em alguns casos. O exame radiográfico também apresentou  
1042 achados importantes que estiveram de acordo com o exame de ultrassom, e  
1043 demonstrou ser tão importante quanto o ultrassom para a confirmação do diagnóstico.

1044                   Portanto, pode-se concluir que o diagnóstico por acupuntura deve ser  
1045 considerado uma ferramenta confiável e deve ser utilizada pelo médico veterinário  
1046 clínico de equinos a fim de facilitar e acelerar o diagnóstico de afecções na articulação  
1047 FTP. Essa metodologia deve ser incluída no exame clínico de rotina, assim como em  
1048 livros de referência para o diagnóstico de claudicação.

1049

1050

1051

1052

1053

1054

1055

1056

1057

1058

## **REFERÊNCIAS**

- 1061 Alfaro A. Correlation of acupuncture point sensitivity of lesion location in 259 horses.  
1062 Journal of Traditional Chinese Veterinary Medicine 2014; 9(1): 83-87.

1063

1064 Anon R. British equine veterinary association survey of equine diseases: 1962-63.  
1065 Veterinary Rec 1965; 77:528.

1066

1067 Bastos LFC. Incidência de síndrome osteocondral juvenil em potros puro sangue inglês  
1068 entre 4 e 6 meses de idade na região de Curitiba-Brasil (Dissertação de Mestrado).  
1069 Curitiba, PR: Pontifícia Universidade Católica do Paraná; 2015.

1070

1071 Baxter GM. Flexural deformities. In: Stashak TS, Adams & Stashak Lameness in  
1072 Horses. Iowa: Blackwell Publishing, 2011; 1145-1154.

1073

1074 Beccati F, Chalmers HJ, Dante S, Lotto E, Pepe M. Diagnostic sensitivity and  
1075 interobserver agreement of radiography and ultrasonography for detecting trochlear  
1076 ridge osteochondrosis lesions in the equine stifle. Veterinary Radiology and Ultrasound.  
1077 2013;54(2):176-184.

1078

1079 Bergin, B.J., Pierce, S.W., Bramlage, L.R., Stromberg, A., 2006. Oral hyaluronan gel  
1080 reduces post-operative tarsocrural effusion in the yearling Thoroughbred. Equine  
1081 Veterinary Journal 38, 375-378.

1082

1083 Boado A, López-Sanromán FJ. Prevalence and characteristics of osteochondrosis in  
1084 309 spanish purebred horses. The Veterinary Journal. 2016;207:112-117.

1085

1086 Bodo G, Hangody L, Modis L, Hurtig M. Autologous osteochondral grafting (mosaic  
1087 arthroplasty) for treatment of subchondral cystic lesions in the equine stifle and fetlock  
1088 joints. Veterinary Surgery. 2004 Nov; 33(6): 588-596.

- 1089 Cain, M. Acupuncture diagnosis and treatment of the equine. Liberty hills farm: NIES  
1090 Inc.; 2003.
- 1091
- 1092 Chrisman CL, Xie H, Ma A, Sivula N, Medina C, Ferguson B, Memon M. 2014 reporting  
1093 guidelines for randomized controlled blinded clinical trials in traditional Chinese  
1094 veterinary medicine. Journal of traditional Chinese veterinary medicine. 2014;9(1):33-  
1095 38.
- 1096
- 1097 Chvala et al. Use of the meridian test for the detection of equine herpesvirus type 1  
1098 infection in horses with decreased performance. Journal of American Veterinary Medical  
1099 Association. 2004; 225(4):554-559.
- 1100
- 1101 Cohen JM, Richardson DW, McKnight AL, Ross MW, Boston RC. Long-term outcome in  
1102 44 horses with stifle lameness after arthroscopic exploration and debridement.  
1103 Veterinary Surgery. 2009. Jun;38(4):543-551.
- 1104
- 1105 Crook TC, Cruisckshank SE, McGowan CM, Stubbs N, Wakeling JM, Wilson AM, Payne  
1106 RC. Comparative anatomy and muscle architecture of selected hind limb muscles in  
1107 Quarter Horse and Arab. J Anatomy. 2008. 212:144-152.
- 1108
- 1109 De Bussher V, Verwilghen D, Bolen G, Serteyn D, Busoni V. Meniscal damage  
1110 diagnosed by ultrasonography in horses: A retrospective study of 74 femorotibial joint  
1111 ultrasonography examinations (2000 – 2005). J Equine Veterinary Science 2006; 26:  
1112 453-61.
- 1113
- 1114 Denoix JM. Biomechanics and physical training of the horse. Flórida, Taylor & Francis  
1115 Group. 2014
- 1116
- 1117 Desjardins MR, Hurtig MB. Diagnosis of equine stifle joint disorders: Three cases. Can  
1118 Vet J. 1991; 32: 543-550.

- 1119 Dung HC. Passive Acupuncture Points as a Physical and Physiologic Indicator of  
1120 Homeostasis. Chinese Medicine Journal. 1988; 101(5): 329-333.
- 1121
- 1122 Dyce K. M., Sack W.O., Wensing C. J. G The forelimb of the horse. In: Dyce K. M.,  
1123 Sack W.O., Wensing C. J. G. Textbook of Veterinary Anatomy. St Louis: Elsevier, 2010,  
1124 586-623.
- 1125
- 1126 Dyson S. Poor performance and lameness. In: Ross M, Dyson S. Lameness in the  
1127 horse. 2<sup>nd</sup> Edition. St Louis, Elsevier. 2011; 920-924.
- 1128
- 1129 Dyson S. Recognition of lameness: man versus machine. The Veterinary Journal. 2014;  
1130 201: 245-248.
- 1131
- 1132 Dyson S. Stifle trauma in the event horse. Equine Veterinary Educ. 1994;6(5):237-240.  
1133 Engelbert TA, Tate LP, Richardson DC, Honore EK, Little EDE. Lateral patellar luxation  
1134 in miniature horses. Veterinary Surgery. 1993; 22(4): 293-297.
- 1135
- 1136 Fleming P. Diagnostic acupuncture palpation examination in the horse. In: Schoen, AM.  
1137 Veterinary Acupuncture: Ancient Art to Modern Medicine.2<sup>nd</sup> Edition. St Louis. 2006;  
1138 424-432.
- 1139
- 1140 Frisbie DD, Barrett MF, McIlwraith CW, Ullmer J. Diagnostic stifle joint arthroscopy using  
1141 a needle arthroscope in standing horses. Veterinary Surgery. 2014; 43: 12-18.
- 1142
- 1143 Frithian DC, Kelly MA, Mow VC. Material properties and structure-function relationships  
1144 in the menisci. Clinical Orthopedics. 1990;252:19-31.
- 1145
- 1146 Ghamesi S, Sardari K, Mohamadnia A, Alipour F, Mirshahi A, Rajabioun M. Surgical  
1147 repair of lateral patellar luxation in two foals. Iranian Journal of Veterinary Surgery.  
1148 2015;10(1):59-63.
- 1149

- 1150 Goodrich LR. Tendon and ligament injuries and diseases. In: Stashak TS, Adams &  
1151 Stashak Lameness in Horses. Iowa: Blackwell Publishing, 2011; 927-938.
- 1152 Jagger DH, Robinson NG. História da acupuntura veterinária. In: Schoen AM.  
1153 Acupuntura veterinária: da arte antiga à medicina moderna. 2ed. São Paulo:Roca,  
1154 2006:2-16.
- 1155
- 1156 Joaquim JGF. Diagnóstico por acupuntura. II Simpósio alagoano de medicina equina.  
1157 2012;115-118
- 1158
- 1159 Johansson H, Sjolander P, Sojka P. Receptors in the knee joint ligaments and their role  
1160 in the biomechanics of the joint. Crit Rev Biomed Eng. 1991; 18(5): 341-68.
- 1161
- 1162 Kainer RA, Fails AD. Functional Anatomy of the Equine Musculoskeletal System. In:  
1163 Stashak TS, Adams & Stashak Lameness in Horses. Iowa: Blackwell Publishing, 2011;  
1164 1-54.
- 1165
- 1166 Kawcak C, Baxter G. Bone Injuries and Disease. In: Stashak TS. Adams & Stashak  
1167 Lameness in Horses. Iowa: Blackwell Publishing, 2011; 890-926.
- 1168
- 1169 Lancaster L. Medical acupuncture for equine laminitis. Journal of Equine Veterinary  
1170 Science 2011; 31: 562-609.
- 1171
- 1172 Lepeule J, Bareille N, Valette JP, Seegers H, Jacquet S, Denoix JM, Robert C.  
1173 Developmental orthopaedic disease in limbs of foals: between-breed variations in the  
1174 prevalence, location and severity of weaning. The Animal Consortium. 2008;2(2);284-  
1175 291.
- 1176
- 1177 Lawrence, L.A. Effects of exercise and training on skeletal development in horses. In:  
1178 Proc. 2003 Equine Nutrition Conference. Growth and Development of the Equine  
1179 Skeleton. Kentucky Equine Research, Sydney, Australia 2003:210-217.
- 1180

- 1181 Martinelli, MJ, Rantanen, NW. Lameness originating from the equine stifle joint: a  
1182 diagnostic challenge. Equine Veterinary Education. 2009; 21(12):648-651.
- 1183
- 1184 Maulet, BEB, Mayhew, IG, Booth, TM. Radiographic anatomy of the soft tissue  
1185 attachments of the equine stifle. Equine Veterinary Journal. 2005; 37(6): 530-535.
- 1186
- 1187 Mayo E. Clinical trials for acupuncture and other traditional Chinese veterinary medicine  
1188 treatments. Journal of traditional Chinese Medicine. 2014;9(1):23-31.
- 1189
- 1190 McCluggage D. Acupuncture for the avian patient. In: Schoen, AM. Veterinary  
1191 Acupuncture: Ancient Art to Modern Medicine.2<sup>nd</sup> Edition. St Louis. 2006; 307-322.
- 1192
- 1193 McCormick WH. Traditional Chinese medicine diagnosis, myofascial pain syndrome and  
1194 metacarpophalangeal joint trauma in the horse. Journal of Equine Veterinary Society.  
1195 1996;16(12):562-567.
- 1196
- 1197 McCormick WH. The incidence and significance of excess acupuncture channel  
1198 imbalance in the equine sport horse purchase examination, 1999-2004. Journal of  
1199 Equine Veterinary Society. 2006;26(7):322-325.
- 1200
- 1201 McIlwraith CW. Joint Injuries and Disease and Osteoarthritis. In: Stashak TS. Adams &  
1202 Stashak Lameness in Horses. Iowa: Blackwell Publishing, 2011; 871-889.
- 1203
- 1204 McIlwraith CW. General pathobiology of the joint and response to injury. In: Mcilwraith  
1205 CW, Trotter GW. Joint disease in the horse. Philadelphia: WB Saunders, 1996:40-70.
- 1206
- 1207 McIntosh SC, McIlwraith CW. Natural history of femoropatellar osteochondrosis in three  
1208 crops of thoroughbreds. Equine Veterinary Journal. 1993;16:54-61.
- 1209
- 1210 McKnight AL. MRI of the equine stifle – 61 clinical cases. Journal of Equine Veterinary  
1211 Society 2012;32:667-73.

- 1212
- 1213 Michelotto PV, Rego DX, Dornbusch, PT. Acupuncture palpation diagnosis in pre  
1214 purchase evaluation of horse. Revista Acadêmica. 2007; 5(3):231-236.
- 1215
- 1216 Michelotto PV, Bastos LF, Sotomaior CS, Pimpão CT. Acupuncture diagnosis in equine  
1217 stifle disease. Journal of Equine Veterinary Science 2014; 34: 967-971.
- 1218
- 1219 Mobasher A, Henrotin Y. Identification, validation and qualification of biomarkers for  
1220 osteoarthritis in human and companion animals: Mission for the next decade. Veterinary  
1221 Journal. 2010;185(2):95-97.
- 1222
- 1223 Montesso F, Wright, IM. Removal of chip fractures of the femoral trochlear ridges of  
1224 three horses. Vet Rec. 1995;137:94-96.
- 1225
- 1226 Ness, RD. Integrative Therapies. In: Harrison & Lightfoot 1<sup>a</sup> Edição. Avian Medicine  
1227 Spix Publishing 2005; 343-364.
- 1228
- 1229 Nixon AJ. Current standards of treatment for subchondral cyst-like lesions. In:WVOC  
1230 Proceedings. 15<sup>th</sup> Annual European ESVOT Congress, Italy 2010.
- 1231
- 1232 O'Meara B, Lischer CJ. Surgical management of a pony with a traumatic medial luxation  
1233 of the patella. Equine Veterinary Educ. 2009;21(9):458-463.
- 1234
- 1235 Pilliner S, Elmhurst S, Davis Z. The Horse in Motion. Oxford: Blackwell; 2002.
- 1236 Prades M, Grant BD, Turner TA. Injuries of the cranial cruciate ligament and associated  
1237 structures: summary of clinical radiographic, arthroscopic and pathological findings from  
1238 10 horses. Equine Veterinary Journal. 1989;21:354-357.
- 1239
- 1240 Ray CS. Baxter GM, McIlwraith CW, Trotter GW, Powers BE, Park RD, Steyn PF.  
1241 Development of subchondral cystic lesions after articular cartilage and subchondral  
1242 bone damage in young horses. Equine Veterinary Journal. 1996; 28(3): 225-232.

- 1243
- 1244 Reardon R, Lischer C, Diagnosis and management of acute stifle injury in adult horses.  
1245 In Practice. 2008; 30:426-433.
- 1246
- 1247 Redding WR. Use of ultrasonography in the evaluation of joint disease in horse. Part 1:  
1248 indications, technique and examination of the soft tissue. Equine Veterinary Education.  
1249 2001 Aug; 13(4): 198-204.
- 1250
- 1251 Rhoades W. Equine stifle disorders. CVC in San Diego Proceedings. 2008.
- 1252 Schoen AM. Equine Acupuncture: Incorporation into Lameness Diagnosis and  
1253 Treatment. AAEP Proceedings. 2000; 46:80-83.
- 1254
- 1255 Stashak TS. Examination for Lameness. In: Stashak TS. Adams & Stashak Lameness  
1256 in Horses. Iowa: Blackwell Publishing, 2011; 113-183.
- 1257
- 1258 Still, J. Pain along the gall bladder meridian in 100 horses. Journal of Acupuncture and  
1259 Meridian Studies 2013; 6(3): 169-172.
- 1260
- 1261 Sullins KE, Kawcak C. The stifle. In: Stashak TS, Adams & Stashak Lameness in  
1262 Horses. Iowa: Blackwell Publishing, 2011; 783-813.
- 1263
- 1264 Tangjitaroen W, Shmalberg J, Colaha PT, Xie H. Equine Acupuncture Research: Na  
1265 Update. Journal Equine Veterinary Science. 2009; 29(9): 698-709.
- 1266 Valberg, SJ, MacLeay JM, Billstrom JA, Hower-Moritz MA, and Mickelsen JR. Skeletal  
1267 muscle metabolic response to exercise in horses with “tying-up” due to polysaccharide  
1268 storage myopathy. Equine Veterinary 1999; 31: 43–47.
- 1269
- 1270 Valdés-Martínez A. Computed tomographic arthrography of the equine stifle joint. Vet  
1271 Clin Equine 2012;28:583-98.
- 1272

- 1273 Vaughan JT. Analysis of lameness in the pelvic limb and selected cases. Am Assoc  
1274 Equine Pract 1965; 11: 223.
- 1275
- 1276 Xie H, Liu H. Diagnóstico em Equinos Segundo a Medicina Tradicional Chinesa. In:  
1277 Schoen AM, Acupuntura Veterinária. São Paulo: Roca, 2006; 491-500.
- 1278
- 1279 Xie H, Preast V. Acupuncture for treatment of musculoskeletal and neurological  
1280 disorders. In: Xie H, Preast V. Xie' Veterinary Acupuncture. Iowa: Blackwell Publishing,  
1281 2007; 247-265.
- 1282
- 1283 Xie H, Trevisanello L. Equine Transpositional Acupoints. In: Xie H, Preast V. Xie'  
1284 Veterinary Acupuncture. Iowa: Blackwell Publishing, 2007; 21-127.
- 1285
- 1286 Walmsley JP. The stifle. In: Ross MW, Dyson SJ, editors. Diagnosis and management  
1287 of lameness in the horse, St. Louis: Saunders. 2003; 455-70.
- 1288
- 1289 Walmsley JP. Diagnosis and treatment of ligamentous and meniscal injuries in the  
1290 equine stifle. Veterinary Clinic Equine 2005; 21: 651-72.
- 1291
- 1292 Weeren PRV. Etiology, Diagnosis, and Treatment of OC(D). Clinical Techniques in  
1293 Equine Practice 2006; 5(4): 248-258.
- 1294
- 1295 Whitcomb MB. Ultrasound of the equine stifle: basic and advanced techniques.  
1296 Proceedings of the AAEP. 2012.
- 1297
- 1298
- 1299
- 1300
- 1301
- 1302
- 1303

## ANEXOS

## Formulário de aceitação do comitê de ética



Pontifícia Universidade Católica do Paraná  
Pró-Reitoria de Pesquisa e Pós Graduação  
Comitê de Ética em Pesquisa

Curitiba, 05 de Junho de 2014.

## PARECER DE PROTOCOLO DE PESQUISA

**REGISTRO DO PROJETO:** 895 – 1<sup>a</sup> versão

**TÍTULO DO PROJETO:** Diagnóstico de lesões femorotibiotarais em equinos através da acupuntura

**PESQUISADOR RESPONSÁVEL:** Pedro Vicente Michelotto Junior

**EQUIPE DE PESQUISA:** Pedro Vicente Michelotto Junior, Luiza Prado, Luiz Fernando Coelho Bastos, Flávia Sampaio.

## INSTITUIÇÃO

Pontifícia Universidade Católica do Paraná

## ESCOLA / CURSO:

Escola de Ciências Agrárias e Medicina Veterinária / Medicina Veterinária

ESPÉCIE DE ANIMAL	SEXO	IDADE / PESO	CATEGORIA	QUANTIDADE
<i>Equus caballus</i>	M/F	2 a 20 anos, pesos variados.	B / Mediato	40

O colegiado do CEUA em reunião no dia 05.06.2014, avaliou o projeto e emite o seguinte parecer:  
**APROVADO.**

PUCPR de forma clara e sucinta, identificando a parte do protocolo a ser modificado e as suas justificativas.

Se houver mudança do protocolo o pesquisador deve enviar um relatório ao CEUA-PUCPR descrevendo de forma clara e sucinta, a parte do protocolo a ser modificado e as suas justificativas.

Se a pesquisa, ou parte dela for realizada em outras instituições, cabe ao pesquisador não iniciá-la antes de receber a autorização formal para a sua realização. O documento que autoriza o inicio da pesquisa deve ser carimbado e assinado pelo responsável da instituição e deve ser mantido em poder do pesquisador responsável, podendo ser requerido por este CEUA em qualquer tempo.

Lembramos ao pesquisador que é obrigatório encaminhar o relatório anual parcial e relatório final da pesquisa a este CEUA.

Atenciosamente,

Prof. Dra. Marta Luciene Fischer  
Coordenadora  
Comitê de Ética em Pesquisa de Animais.  
Coordenadora Comitê de Ética  
no uso de animais



Rua Inácio da Conceição, 1155 - Pato Branco - CEP 80.215-301 - Curitiba - Paraná - Brasil  
Código postal 17315-000 - Fone/Fax (41) 3291-2890 - [www.pucpr.br](http://www.pucpr.br)

1307 **Quadro 1 – Sistema de graduação distensão sinovial em equinos conforme**  
1308 **Bergin et al. (2006).**

Grau	Descrição
0	Sem efusão
1	Efusão pouco palpável
2	Efusão palpável sem distensão
3	Efusão do tamanho de uma bola de golfe com distensão palmar/plantar
4	Efusão do tamanho de uma bola de golfe com efusão palmar/plantar
5	Efusão maior que uma bola de golfe com efusão palmar/plantar

**Quadro 2 - Índice de gravidade (IG) em avaliações radiográficas de equinos segundo Lepeule et al. (2013).**

Tamanho	Posição	Complicações associadas	Interferência com a mobilidade articular	Índice de Gravidade (IG)
<b>Pequeno</b>	Longe	Não	Não	1
		Leve	Não	2
	Perto	Não	Possível	2
		Leve	Possível	2
<b>Médio</b>	Longe	Não	Não	2
		Leve	Não	2
		Moderadas	Não	4
	Perto	Não	Possível	2
		Leve	Possível	4
		Moderadas	Possível	4
	Na articulação	Não	Possível	4
		Leve	Possível	4
		Moderadas	Possível	4
	Perto	Leve	Possível	4
		Moderadas	Possível	4
		Severa	Normalmente	8
		Leve	Possível	4

<b>Grandes</b>	Na articulação	Moderadas	Normalmente	8
		Severa	Normalmente	8

1331

1332

1333

1334

1335

1336

1337

1338

1339

1340

1341

1342

1343

1344

1345

1346

1347

1348

1349

1350

1351      **Quadro 3 – Classificação e escore dos achados ultrassonográficos em equinos.**

1352

<b>Índice de Gravidade (IG)</b>	<b>Classificação</b>	<b>Achados ultrassonográficos</b>	<b>Escore ultrassonográfico - EU (média dos IG)</b>	<b>Classificação do EU</b>
<b>0</b>	Ausente	Sem alterações	0	Ótimo
<b>1</b>	Leve	Pequenas irregularidades ou perda do padrão ecogênico	1	Bom
<b>2</b>	Moderado	Definidas, sem sinal de calcificação, edema ou ruptura de fibra	2	Moderado
<b>3</b>	Grave	Alteração significativa do padrão ecogênico	3	Grave

1353

1354

1355

1356

1357

1358

1359

1360

1361

1362

1363

1364

**Quadro 4 – Escala de condição corporal conforme Carrell e Huntington (1988).**

<b>Escore</b>	<b>Pelve</b>	<b>Dorso e Costelas</b>	<b>Pescoço</b>
<b>0 – Emaciação severa</b>	Angular, pele firme. Garupa muito afundada. Cavidade profunda sob a cauda.	Pele apertada sobre as costelas. Muito proeminente e espinha dorsal acentuada.	Estrutura do osso facilmente perceptível. Fino e estreito na base.
<b>1 – Emaciação</b>	Pelve e garupa proeminente. Garupa afundada, mas pele macia. Cavidade profunda sob a cauda.	Pele firme sobre as costelas. Coluna vertebral bem proeminente e visível.	Estrutura do osso fracamente perceptível. Fino na base.
<b>2 – Moderada</b>	Garupa plana em ambos os lados da espinha dorsal. Garupa bem definida e com alguma gordura. Cavidade leve sob a cauda.	Costelas visíveis. Coluna vertebral recoberta, mas processos espinhosos podem ser sentidos.	Pescoço acentuado, mas firme.
<b>3 – Ideal</b>	Com cobertura de gordura e rondado. Facilidade em sentir a pelve. Sem gordura na base da cauda.	Costelas cobertas e fáceis de sentir. Sem gordura no dorso. Coluna vertebral recoberta, porém fácil de sentir.	Ausência de regiões acentuadas, firme.
<b>4 – Obesidade</b>	Gordura na base da cauda. Pelve coberta por gordura. Precisa de uma pressão firme para sentir.	Costelas bem recobertas necessitam de pressão para sentir. Presença leve de crista.	Engrossamento perceptível e firme.

<b>5</b>	-	<b>Obesidade severa</b>	Grande quantidade de gordura na base da cauda. Pele distendida. Pelve recoberta, não pode ser sentida.	Costelas cobertas, não podem ser sentidas. Gordura profunda no dorso. Dorso largo e achatado.	Crista acentuada muito ampla e firme. Com dobras ou gordura.
----------	---	-------------------------	--	---	--

1366

1367

1368

1369

1370

1371

1372

1373

1374

1375

1376

1377

1378

1379

1380

1381

1382

1383

1384

1385

1386

1387

**Ficha clínica do exame por acupuntura**

Ficha Clínica Acupuntura					
Ficha Número:			Data:		
Proprietário:					
Idade:			Sexo:		
Raça:		Altura:		Peso:	
Atividade:	Hipismo	Patrulha	Salto	Equoterapia	Adestramento
Queixa Principal:	Baixo Rendimento		Revisão		Claudicação
	Exame pré-compra		Dificuldade no Trabalho		Emagrecimento
Shen:	Apático	Irritado	Medo	Tranquilo	Agressivo
	Ansioso				
Língua:	Pálida	Roxa	Amarela	Vermelha	Rósea
Saburra:	Normal	Fina	Crosta	Amarela	Pegajosa
	Preto Acinzentada		Seca	Espessa	Úmida
	Branca				
Pelagem:	Fosco	Seco	Opaco	Brilhante	Comprido
	Queda	Crosta	Liso		
Lesões:	Sim	Não			
	Tipo e local da lesão:				
Secreção:	Nasal	Ocular	Ausente	Colorida	Transparente
Escore:	1	2	3	4	5
Desenvolvimento Muscular:			Normal	Deficiente	Aumentado
Simetria	Assimétrico		Simétrico		
Descreva:					
Achados Externos:	Edema:	Sim	Não		
	Local:				
	Cicatriz:	Sim	Não		
	Local:				
Respiração:	Normal	Ruidosa	Úmida		
Fezes:	Normal	Ressecadas	Diarréicas	Pastosas	
Tratamento Odontológico Prévio:			Sim	Não	
	Quanto tempo:				
Qualidade da Mastigação:			Normal	Moderada	Ruim
Cavidade Bucal:	Ferimento:	Sim	Não		
	Odor Fétido	Odor Normal			
Mucosa Ocular:	Rósea	Pálida	Amarela	Vermelha	
Arcada Dentária:	Normal	Ruim	Moderada		
Alimentação:	Aveia	Verde	Farelo	Feno Alfafa	
	Silo	Ração	Cenoura	Concentrado Granulado	
	Outros				
Pulso:	Normal	Anormal	Fraco	Superficial	Profundo
	Rápido	Cheio	Forte	Lento	Escorregadio
	Análise:				
Tipo Constitucional:					
Outros Pontos Sensiveis:					
Diagnóstico Tradicional Chinês:					
Tratamento:					

Ponto Alarme:

	C	ID	PC	TA	P	IG	BP	E	R	B	F	VB
	VC14	VC4	VC17	VC5	P1	E25	F13	VC12	VB25	VC3	F14	VB24
E												
D												
	B15	B27	B14	B22	B13	B25	B20	B21	B23	B28	B18	B19
E												
D												

Pontos Locais:

	B20	B21	E31	PL1	PL2	PL3	PPatela	BP13	VG27	VCDTC
Esq										
Dir										

Pontos Ting:

	1(C9)	2(ID1)	3(TA1)	4(IG1)	5(P11)	6(PC9)	7(B67)	8(VB44)
Esq								
Dir								
	9(E45)	10(F1)	11(BP1)	12(R1)				
Esq								
Dir								

Pontos da mandíbula:

	VB2	ID10	VB20	B10	ATM (E7)
Esq					
Dir					

1391

## Ficha clínica do exame ultrassonográfico

1392

Nome do animal: \_\_\_\_\_ Local do Exame: \_\_\_\_\_ Raça: \_\_\_\_\_

1393

Idade: \_\_\_\_\_ Altura: \_\_\_\_\_ Peso: \_\_\_\_\_ Utilização: \_\_\_\_\_ Grau de efusão articular (0-3)/membro: \_\_\_\_\_

1394

1395

1396

Grau de Claudicação: \_\_\_\_\_

Dia do exame: \_\_\_\_\_

**Membro MPD:**

<b>Ligamentos patelares</b>	Origem	Inserção	Observação	Pontuação
Lateral				
Intermédio				
Medial				
<b>Ligamentos colaterais</b>	Origem (fêmur)	Inserção (tíbia)		
Lateral				
Medial				
<b>Tróclea femoral</b>	Espessura 1	<b>Espessura 2</b>		
Lateral				
Medial				
<b>FT medial</b>	Medição 1	Medição 2		
Proliferação sinovial				
Dimensão				
<b>FT lateral</b>	Espessura 1	<b>Espessura 2</b>		
Proliferação sinovial				
Dimensão				
<b>Meniscos</b>	Aspecto	Ligamento cranial		
Lateral				
Medial				
<b>Côndilos femorais</b>				
Lateral				
Medial				
<b>Pontuação total</b>				

1397

1398

**Membro MPE:**

<b>Ligamentos patelares</b>	Origem	Inserção	Observação	Pontuação
Lateral				
Intermédio				
Medial				
<b>Ligamentos colaterais</b>	Origem (fêmur)	Inserção (tíbia)		
Lateral				
Medial				
<b>Tróclea femoral</b>	Espessura 1	<b>Espessura 2</b>		
Lateral				
Medial				
<b>FT medial</b>	Medição 1	Medição 2		
Proliferação sinovial				
Dimensão				
<b>FT lateral</b>	Espessura 1	<b>Espessura 2</b>		
Proliferação sinovial				
Dimensão				
<b>Meniscos</b>	Aspecto	Ligamento cranial		
Lateral				
Medial				
<b>Côndilos femorais</b>				
Lateral				
Medial				
<b>Pontuação total</b>				

1399

1400

0=Aspecto normal; 1=Alteração mínima; 2=Alteração moderada; 3=Alteração grave.

Análise subjetiva: \_\_\_\_\_

**Tabela geral dos achados ultrassonográficos e radiográficos por animal**

Grupos	Animal	Lado	Escore RX	Achados Radiográficos	Escore US	Achados Ultrassonográficos
Grupo de Membros Controle (GMC)	5	E	0		1	
	5	D	0		1	AICMF
	7	E	2	REBPMT; OST	1	
	7	D	2	REBPMT; OST	0	DLCM
	10	E	0	REBPMT	0	
	10	D	1		0	
	13	E	4	REBPMT	0	
	13	D	4	REBPMT	0	
	19	E	2	REBPMT	0	
	19	D	2	REBPMT	0	
	25	E	0		0	
	25	D	0		0	
	31	E	4		0	OCDTLF; OCDTMF
	31	D	2		0	
Grupo de Membros Não Suspeitos (GMNS)	38	E	2	ACMF	0	
	38	D	2	ACMF	0	
	1	D	8	ACMF; REBPMT; EBACF	1	OST; DLCM; DLPM; AICMF; DLCMM
	2	D	0		2	DMM; DLCM; DLCMM
	6	D	4	EEA; REBPMT; OST	2	DMM; DLCMM; OCDTLF
	8	D	1	REBPMT	2	DMM, FFPE; DLPM
	11	D	4		3	
	12	D	0		0	
	18	E	2		0	
	21	D	4	ACMF	0	OCDTLF
	22	D	4		2	OST; OCDTLF; DLCM; AICMF; DLCMM; OCDTMF
	25	D	0		0	
	28	D	0		0	DLPM; DMM
	32	D	0		1	ACMF
Grupo de	33	D	1	OST	1	D.S.A
	34	D	0		1	DLCL; OST
	37	D	0		1	
Grupo de	1	E	8	ACMF; REBPMT;	2	DLCM; DLPM;

Membros Suspeitos (GMS)			EBACF		DLCL; ACMF
2	E	0		0	
3	E	1	ACMF	0	
	D	1	ACMF	1	DMM
4	E	4	ACMF; REBPMT	1	ACMF; DLCM
	D	4	ACMF; REBPMT	1	ACMF; DLCM
6	E	4	EEA; REBPMT; OST	3	DMM; DLCMM; OCDTLF
8	E	1	REBPMT	2	DLPM; DLCM; OCDTLF; ODCTMF
9	E	4	ACMF; REBPMT	3	
	D	4	ACMF; REBPMT	1	D.S.A
11	E	8	ACMF; REBPMT; EBACF; RILCM	1	ACMF
12	E	0		1	ACMF
14	E	1	REBPMT	1	DLCM; OST
	D	1	REBPMT	1	DLCM; OST; DLCL
15	E	0		2	
	D	0		1	
16	E	0	REBPMT	1	OST; DMM
	D	0	REBPMT	1	OTS; DLCM; DLPM
17	E	1	REBPMT; OST	1	OCDTLF
	D	1	REBPMT; OST	1	OCDTLF
18	D	2	ACMF	1	ACMF
20	E	2	ACMF; EEA; RILCM	1	ACMF; EEA; RILCM
	D	2	ACMF, RILCM	1	OCDTLF
21	E	4	ACMF; REBPMT; EILCM; EEA	1	OCDTLF
22	E	4	ACMF; REBPMT; EILCM	1	DLCMM; OCDTMF; OCDTLF; OST; DCMF; DLCMM
23	E	0		1	
	D	0		1	
24	E	8	ACMF; REBPMT	1	DLCM
	D	4	ACMF; REBPMT	1	DLCM
26	E	2	ACMF; REBPMT; OST	2	OCDTMF
	D	4	ACMF; REBPMT; OST	1	OCDTMF; DLCM
27	E	0	REBPMT	0	REBPMT
	D	1	REBPMT	0	REBPMT
28	E	0		1	

	29	E	2	REBPMT; OST	0	OCDTLF
		D	2	REBPMT; OST	1	REBPMT
	30	E	4	ACMF; REBPMT; OST	1	ACMF; REBPMT; OST
		D	2	ACMF; REBPMT; OST	1	ACMF; REBPMT; OST
	32	E	0		0	DLPM; OCDTMF
	33	E	1	OST	0	D.S.A
	34	E	0		1	OST
	35	E	2	ACMF; REBPMT; OST	1	OST; DCMF; DMM
		D	2	ACMF; REBPMT; OST	2	OST; ACMF
	36	E	0		0	
		D	0		0	
	37	E	4	REBPMT	0	DLCM; OST
	39	E	2	REBPMT	2	DLCL; DMM
		D	2	REBPMT	3	

1402

Sigla	Legenda
<b>ACMF</b>	Achatamento do côndilo medial do fêmur
<b>AICMF</b>	Alteração do côndilo medial do fêmur
<b>DLCL</b>	Desmrite do ligamento cranial lateral
<b>DLCM</b>	Desmrite no ligamento colateral medial
<b>DLCMM</b>	Desmrite do ligamento cranial do menisco medial
<b>DLPM</b>	Desmrite dos ligamentos patelares médio
<b>DMM</b>	Degeneração do menisco medial
<b>D.S.A</b>	Distensão sinovial em articulação
<b>EBACF</b>	Esclerose no bordo articular do côndilo femoral
<b>EEA</b>	Estreitamento do espaço articular
<b>EILCM</b>	Esclerose na inserção do ligamento colateral medial
<b>FFPE</b>	Fragmentação da fêmoro-patelar esquerdo
<b>OCDLF</b>	OCD tróclea lateral do fêmur
<b>OCDTMF</b>	OCD tróclea medial do fêmur
<b>OST</b>	Osteofitose
<b>REBPMT</b>	Remodelação / entesofitose do bordo do platô medial da tibial
<b>RILCM</b>	Reação na inserção do ligamento colateral medial

1403